

Melhores momentos

AULA PASSADA

Caminhos de incremento

Invariante: no início de cada iteração temos um st -pseudofluxo \tilde{x} que respeita as capacidades.

Algoritmo	consumo de tempo
FORD-FULKERSON	$O(nmU)$
MAX-CAPACITY	$O(n^2m \lg U)$
CAPACITY-SCALING	$O(m^2 \lg U)$
EDMONDS-KARP	$O(nm^2)$
DINITS	$O(n^2m)$
Karzanov	$O(n^3)$
Sleator-Tarjan	$O(nm \log n)$

Estamos supondo que $n = O(m)$ (grafo conexo)

Preflow-push

Invariante: no início de cada iteração temos st -pré-fluxo que respeita as capacidades e **não** existe caminho de s a t na rede residual.

Algoritmo	número máximo de execuções	consumo total de tempo
RELABEL	$< 2n^2$	$O(n^2)$
PUSH saturante	$< nm$	$O(nm)$
PUSH não-saturante	$< 2n^2(m + 2)$	$O(n^2m)$

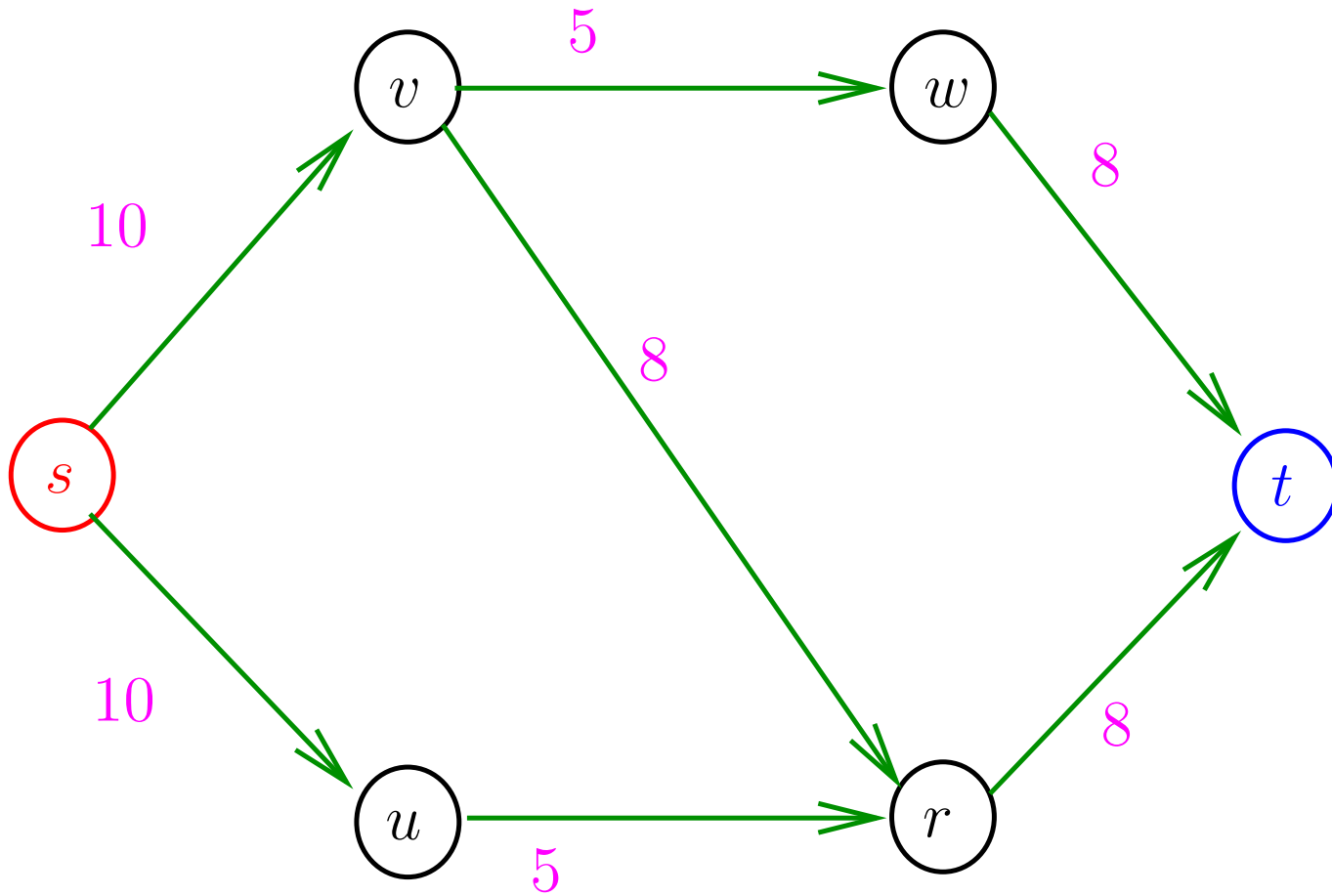
O consumo de tempo do algoritmo **GENERIC-PREFLOW-PUSH** é $O(n^2m)$.

AULA 16

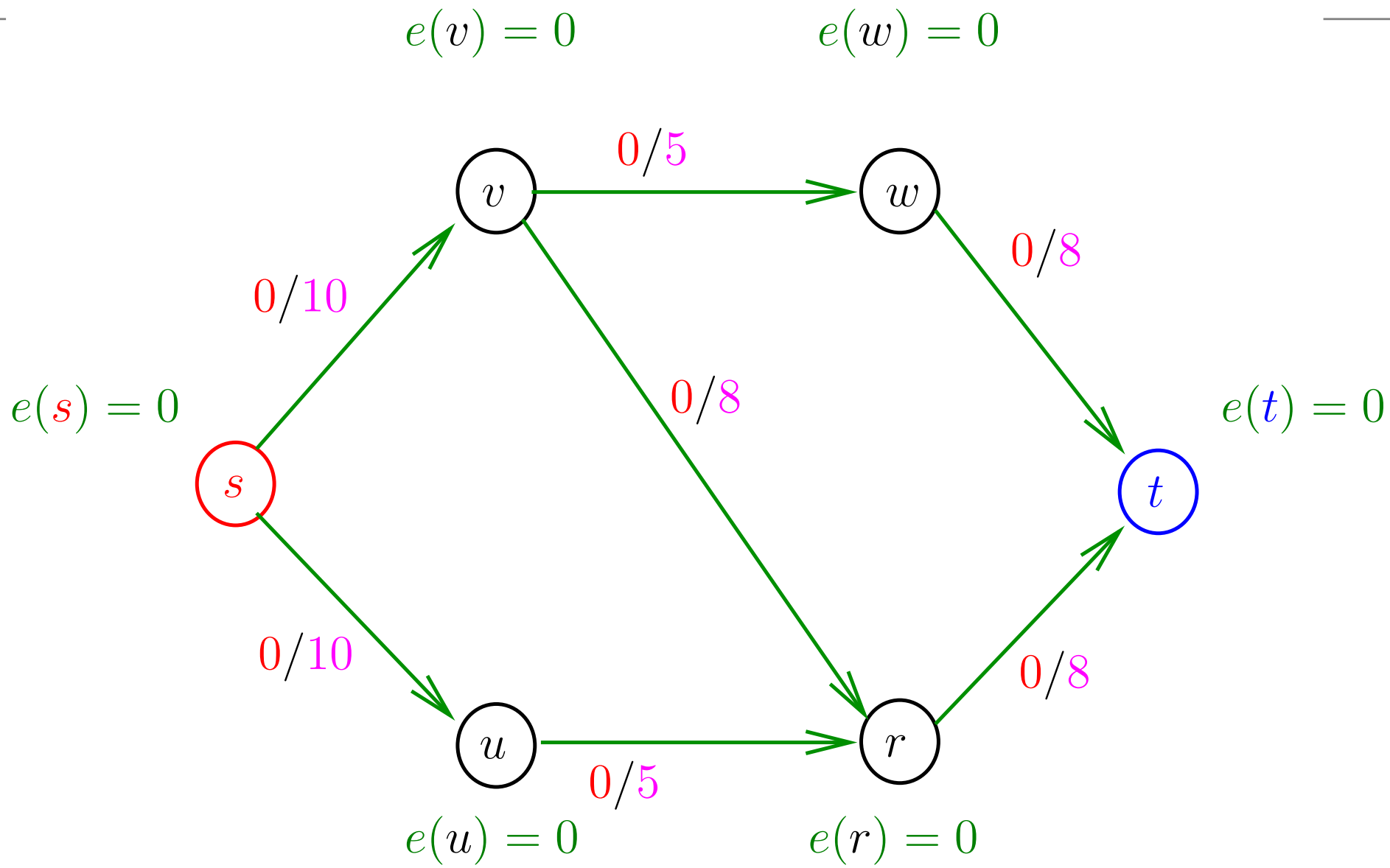
FIFO preflow-push

PF 18.1, 18.2

Rede



Fluxos e excessos

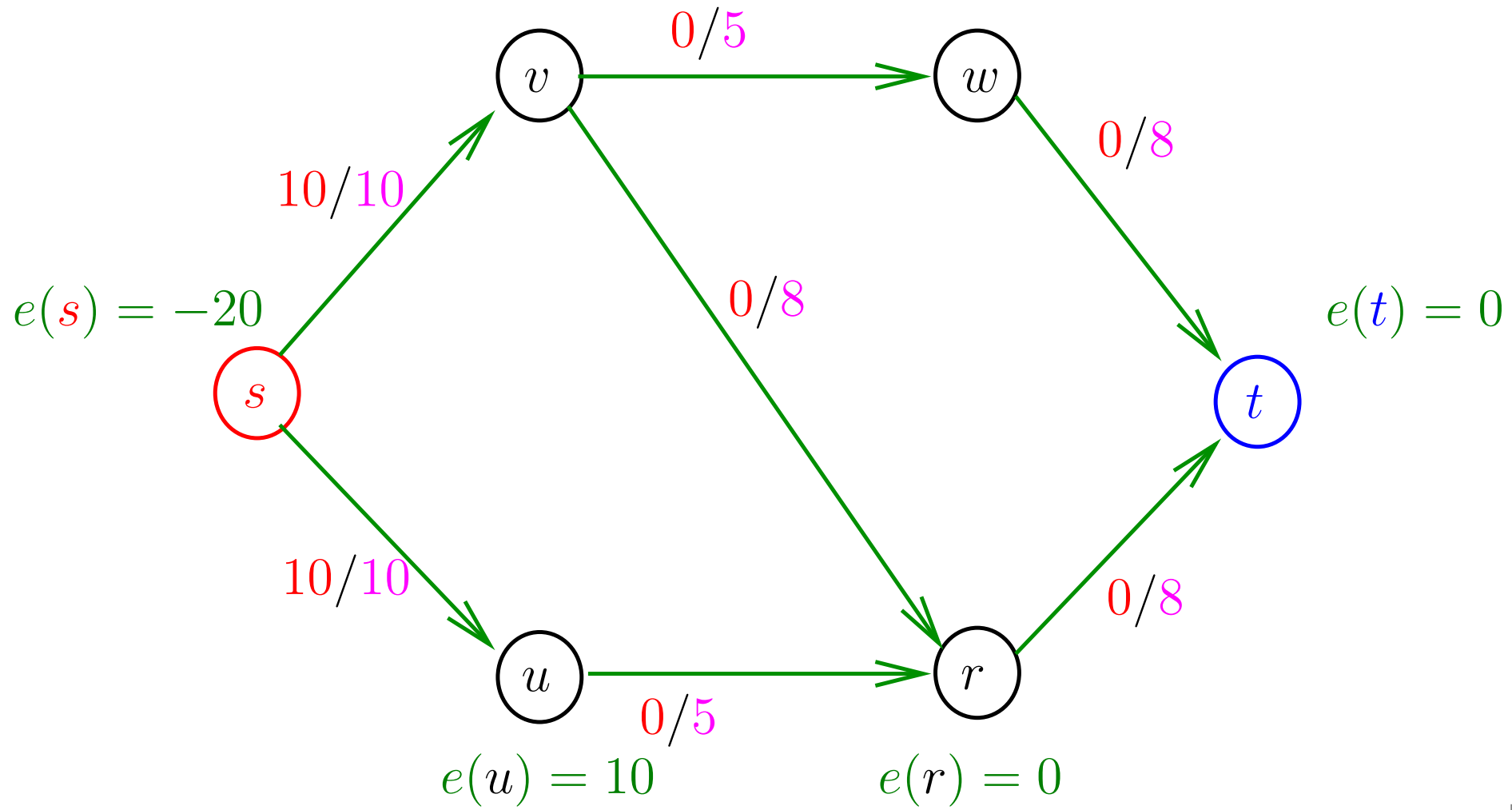


Pré-processamento

$$L = \langle v, u \rangle$$

$$e(v) = 10$$

$$e(w) = 0$$



Rede residual 1

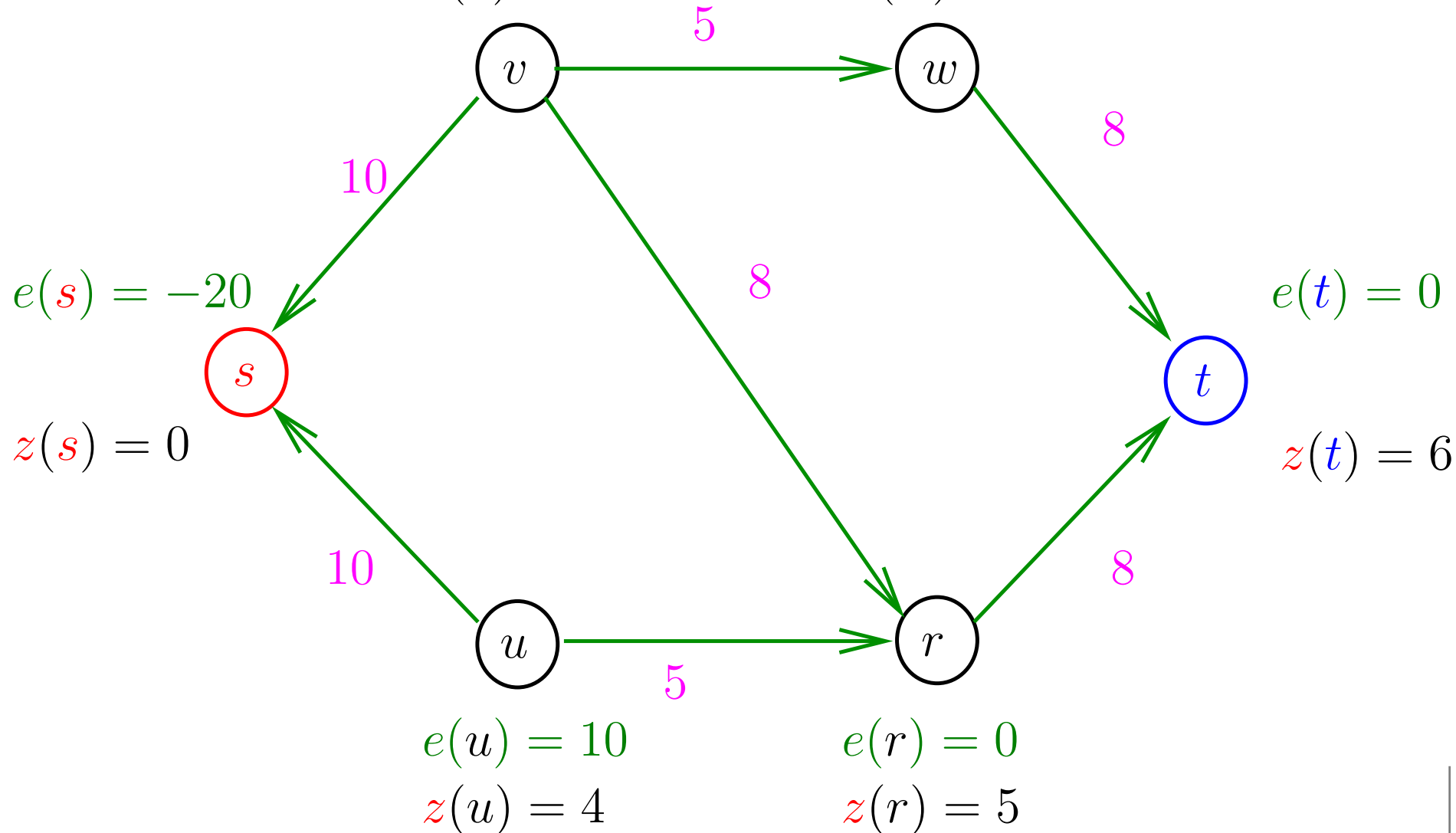
$$L = \langle v, u \rangle$$

$$e(v) = 10$$

$$z(v) = 4$$

$$e(w) = 0$$

$$z(w) = 5$$



Rede residual 1

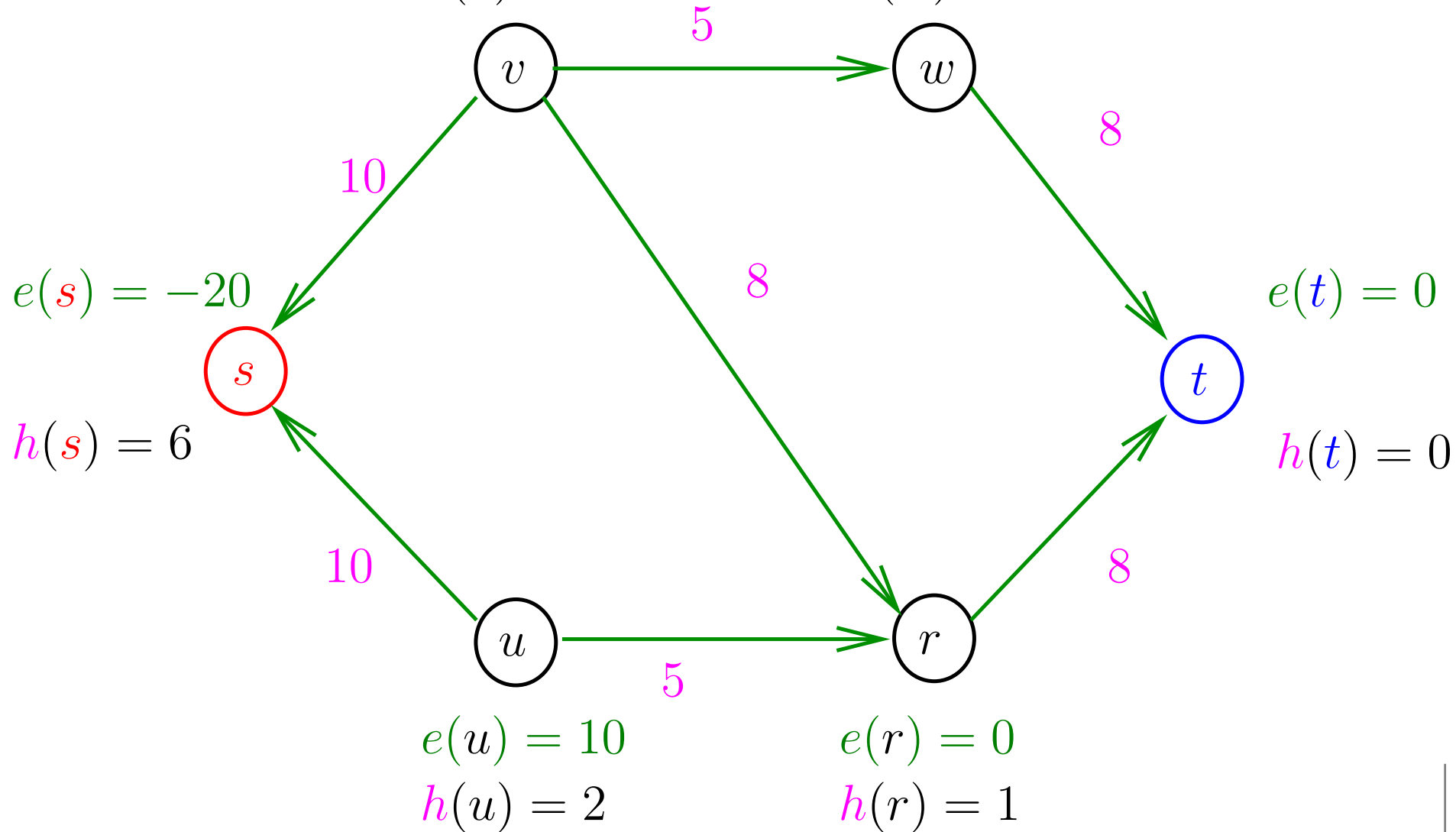
$$L = \langle v, u \rangle$$

$$e(v) = 10$$

$$h(v) = 2$$

$$e(w) = 0$$

$$h(w) = 1$$



Node-Examination (v)

$L = \langle u \rangle$

$$e(v) = 10$$

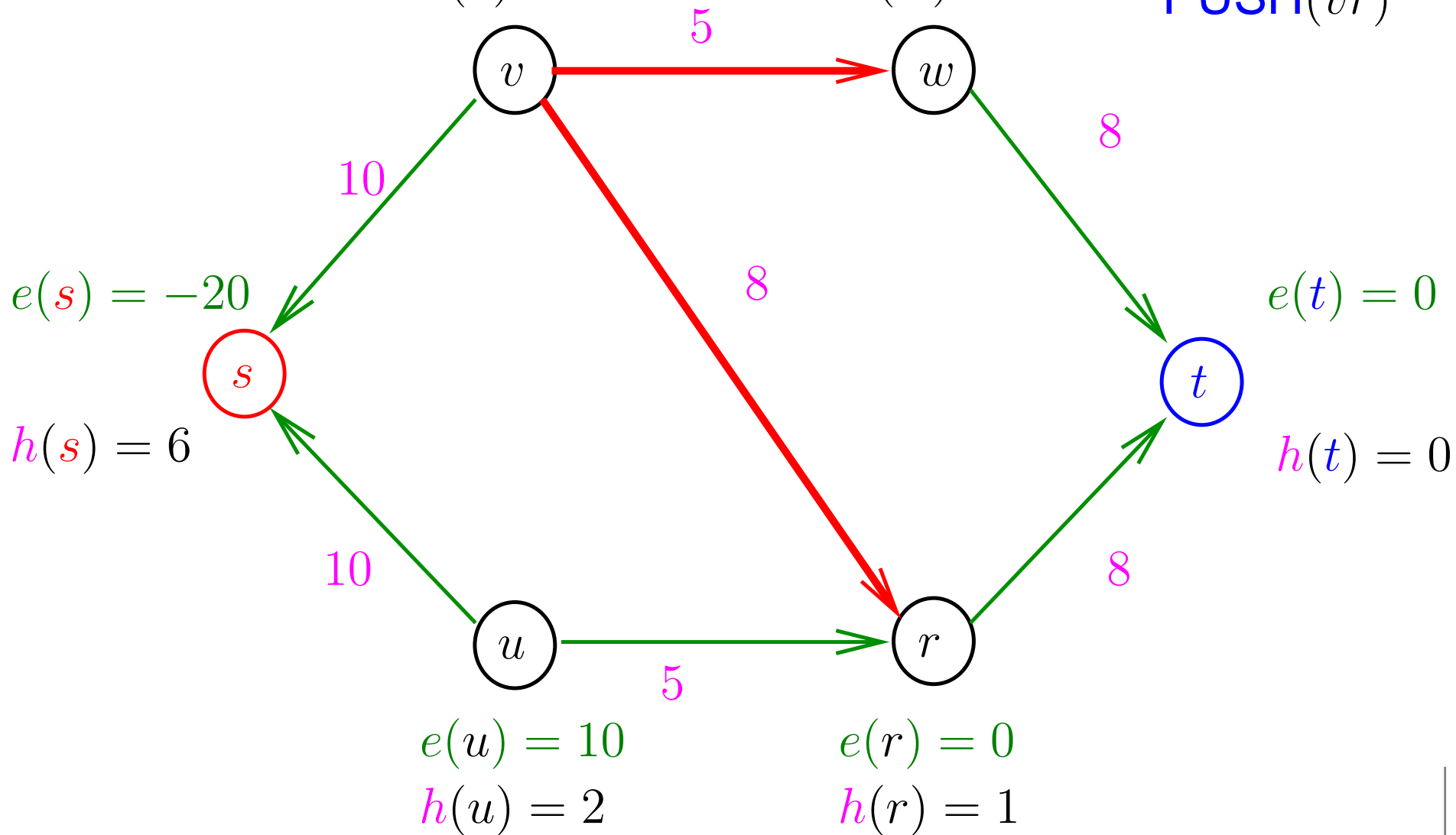
$$h(v) = 2$$

$$e(w) = 0$$

$$h(w) = 1$$

PUSH(vw)

PUSH(vr)



Rede residual 2

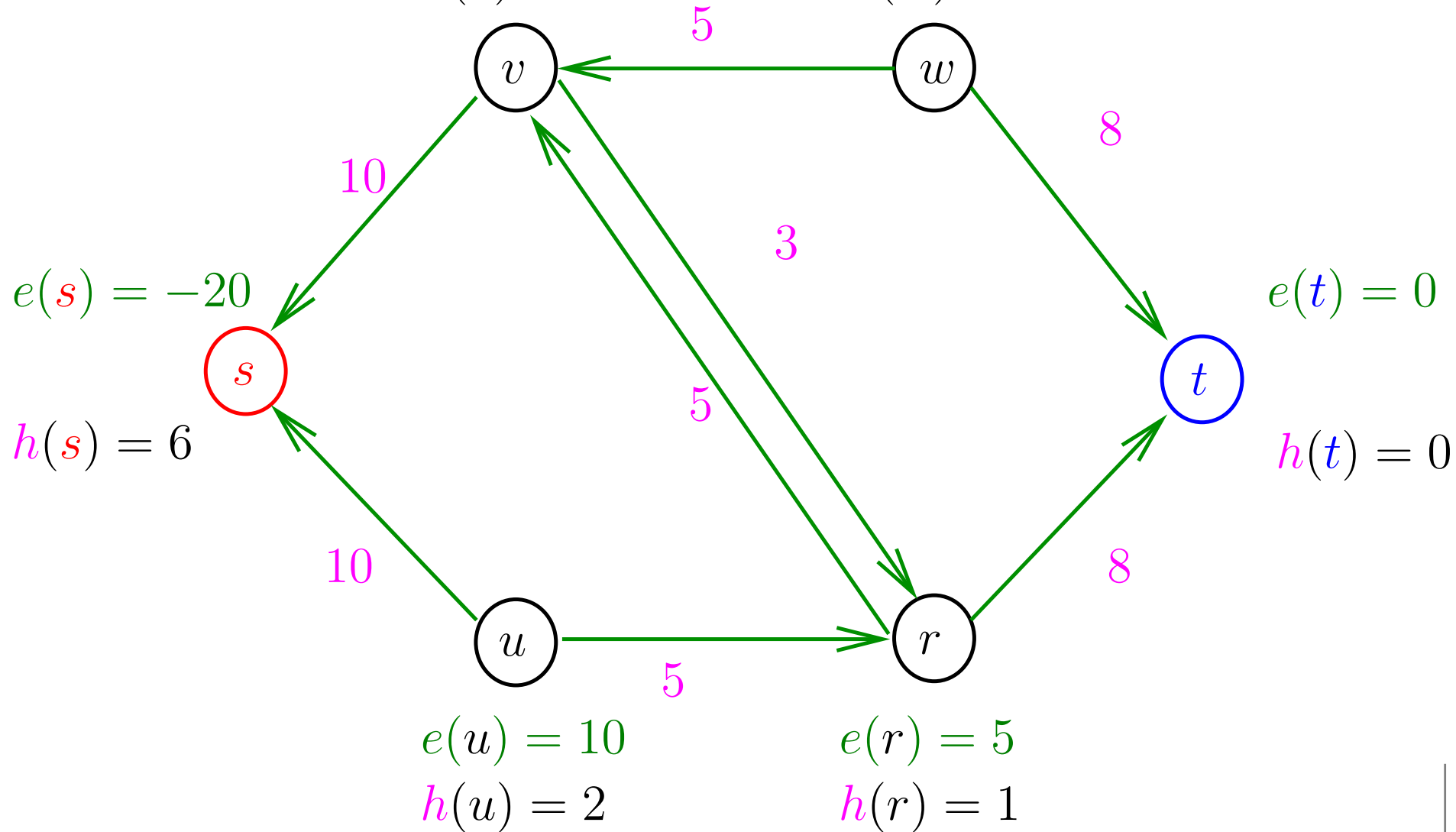
$$L = \langle u, w, r \rangle$$

$$e(v) = 0$$

$$e(w) = 5$$

$$h(v) = 2$$

$$h(w) = 1$$



Node-Examination (u)

$$L = \langle w, r \rangle$$

$$e(v) = 0$$

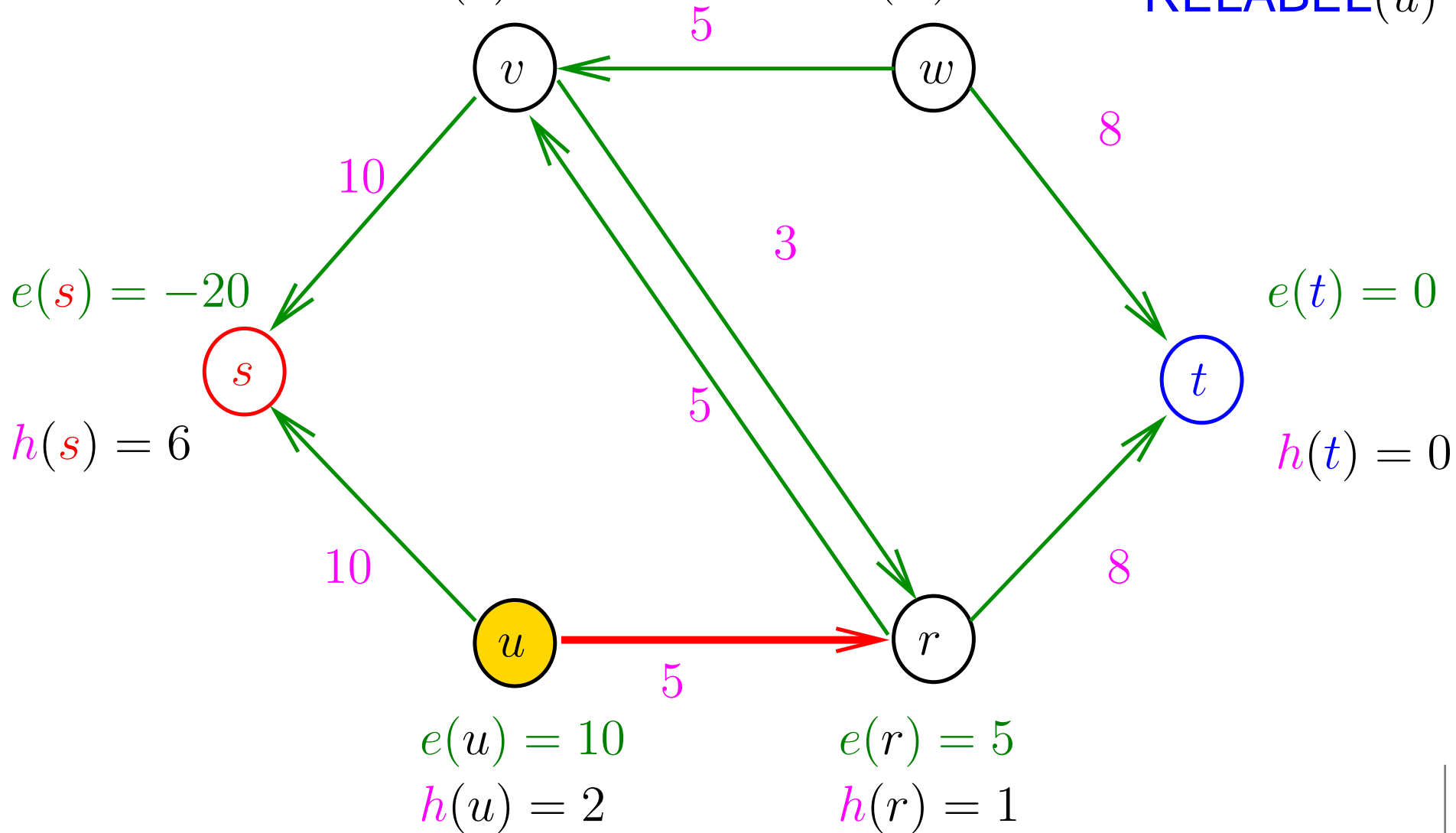
$$h(v) = 2$$

$$e(w) = 5$$

$$h(w) = 1$$

PUSH(ur)

RELABEL(u)



Rede residual 3

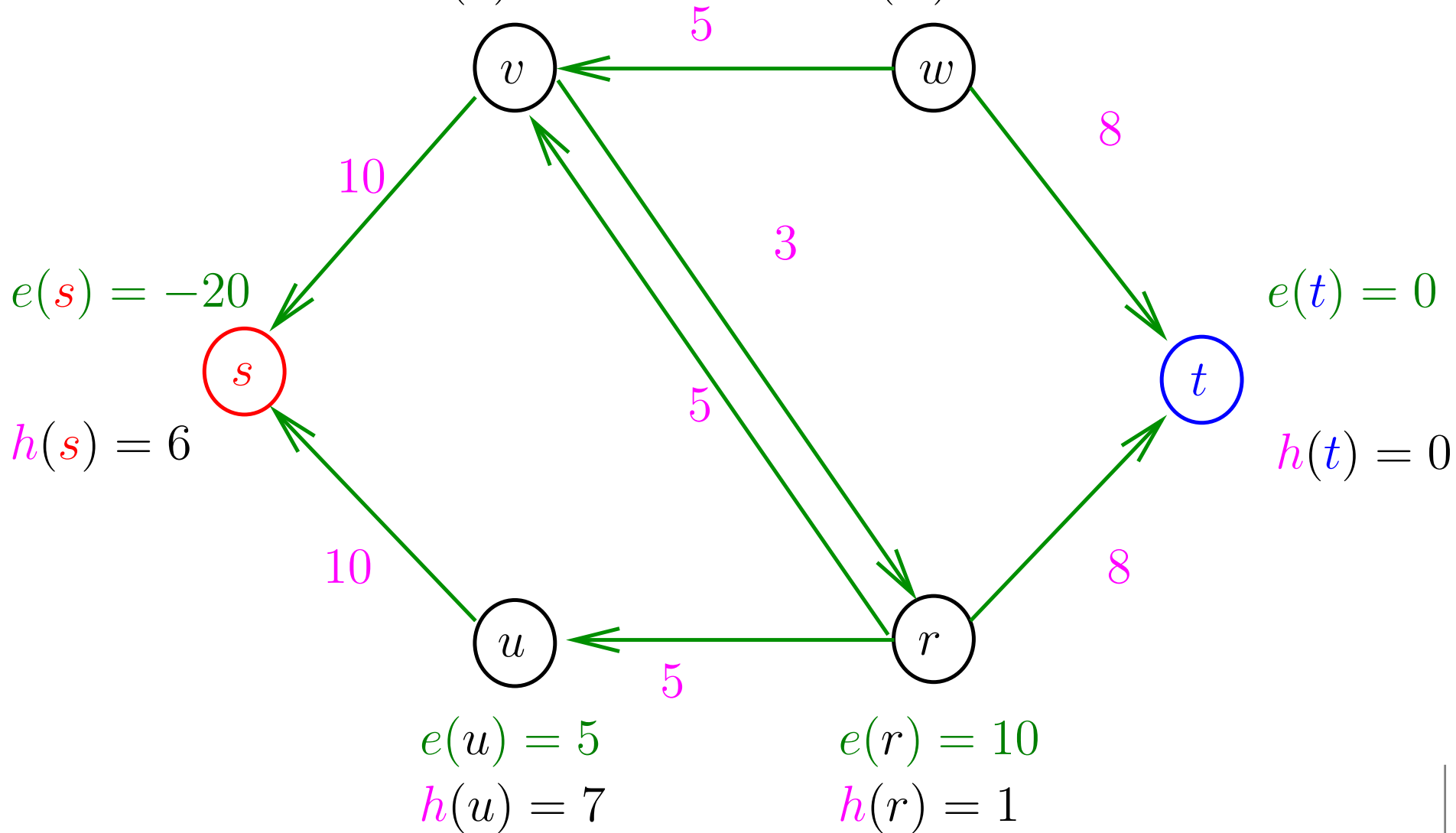
$$L = \langle w, r, u \rangle$$

$$e(v) = 0$$

$$h(v) = 2$$

$$e(w) = 5$$

$$h(w) = 1$$



Node-Examination (w)

$$L = \langle r, u \rangle$$

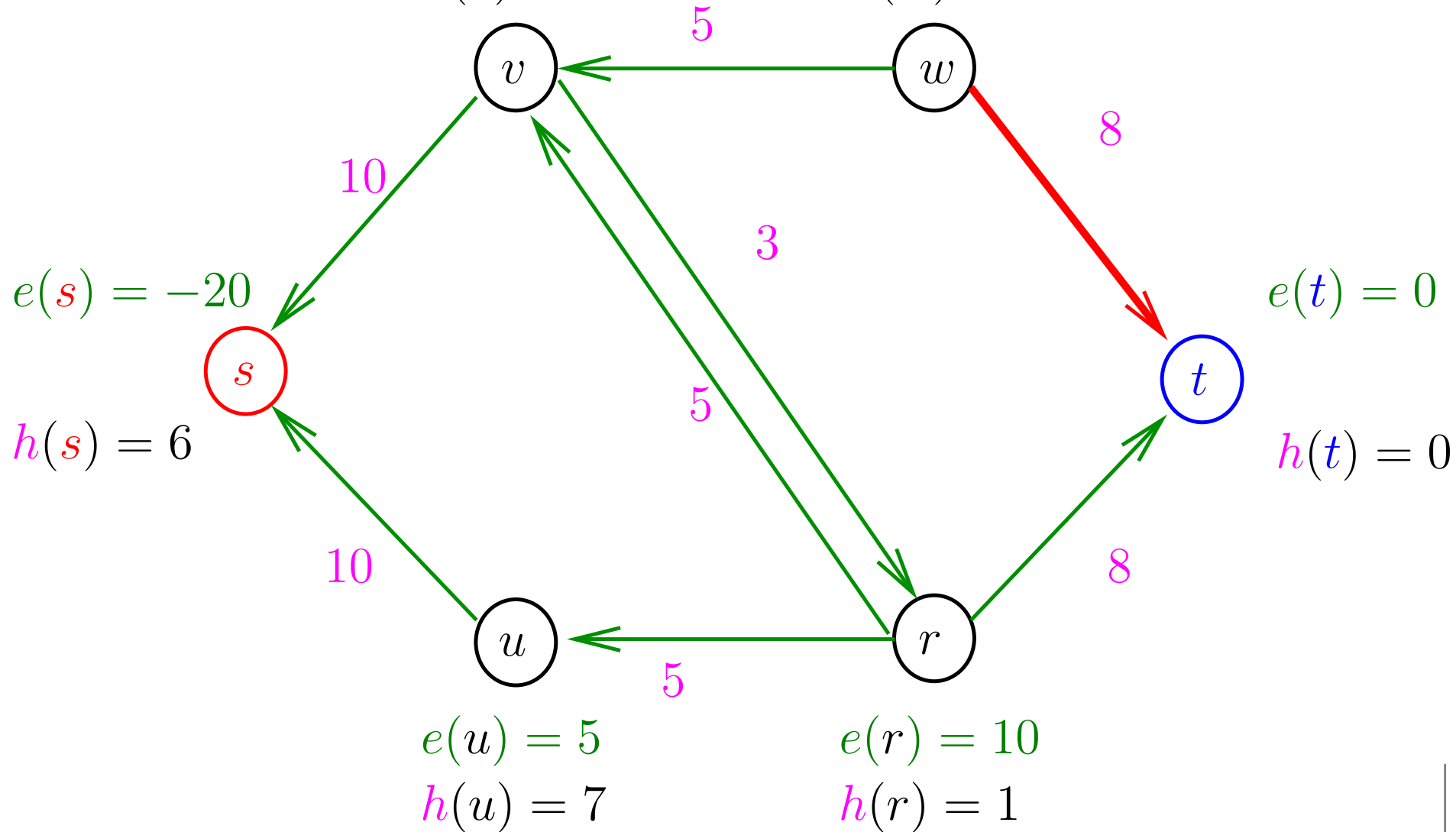
$$e(v) = 0$$

$$e(w) = 5$$

PUSH(w)

$$h(v) = 2$$

$$h(w) = 1$$



Rede residual 4

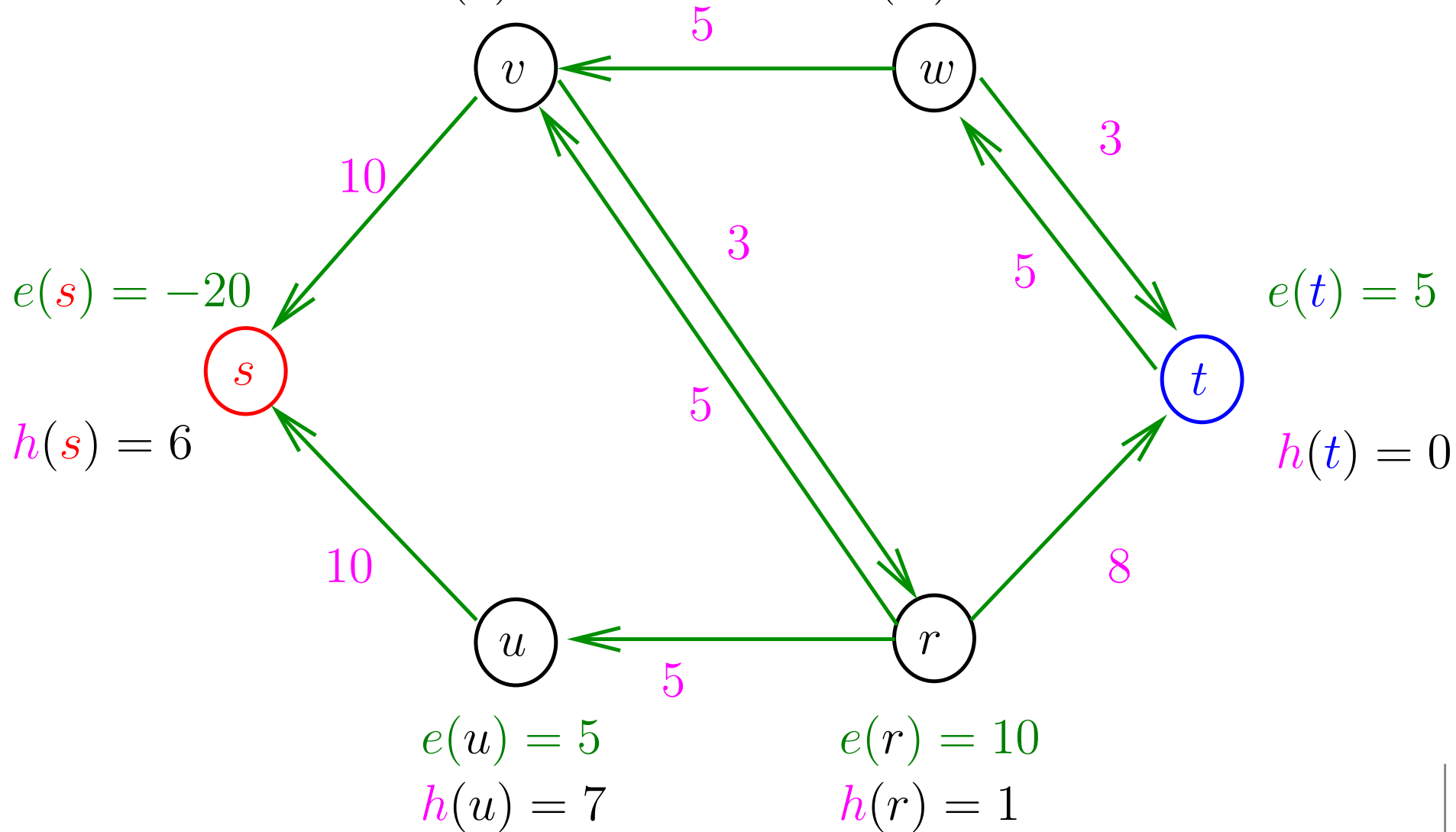
$$L = \langle r, u \rangle$$

$$e(v) = 0$$

$$h(v) = 2$$

$$e(w) = 0$$

$$h(w) = 1$$



Node-Examination (r)

$L = \langle u \rangle$

$$e(v) = 0$$

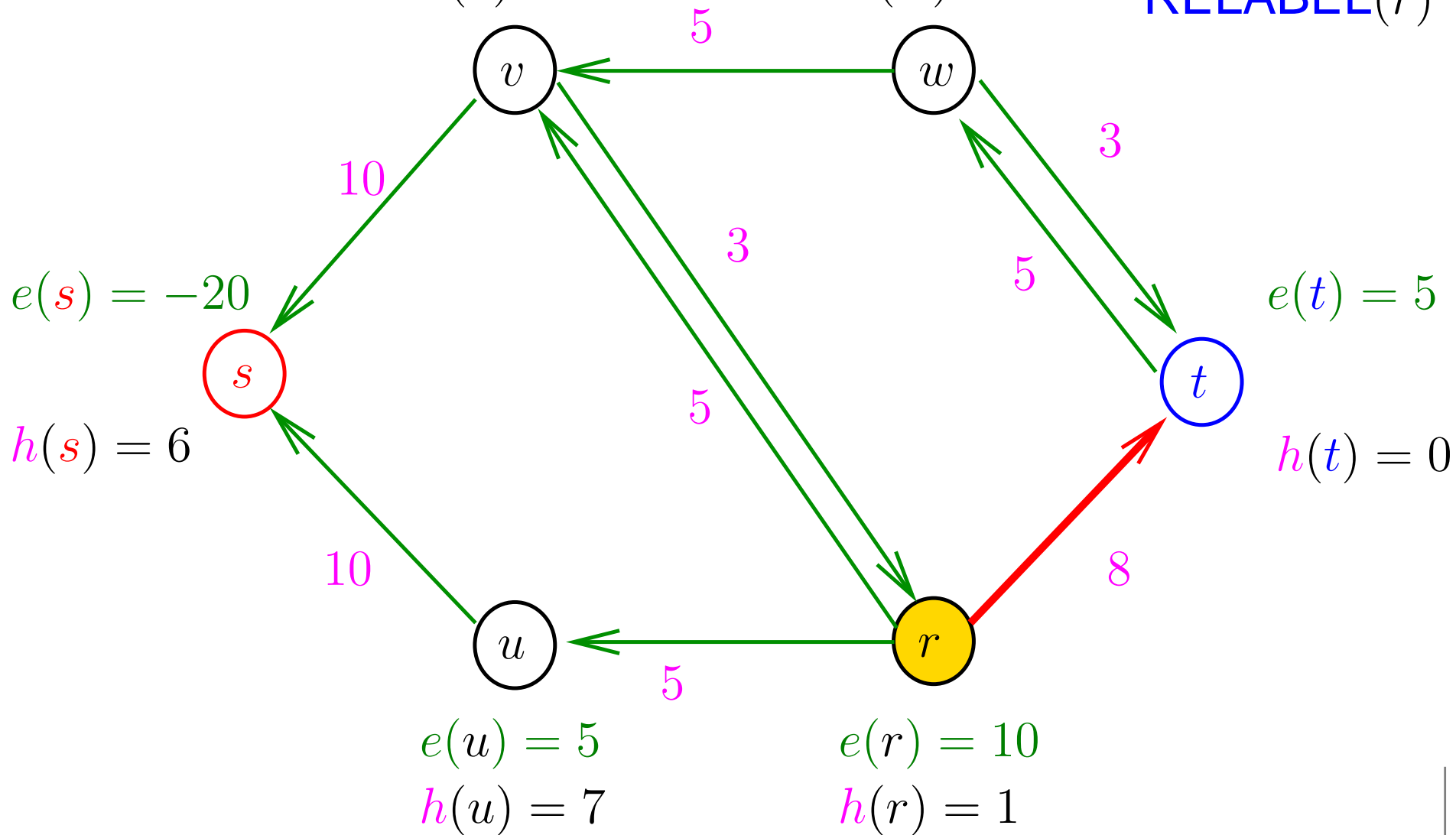
$$h(v) = 2$$

$$e(w) = 0$$

$$h(w) = 1$$

PUSH(rt)

RELABEL(r)



Rede residual 5

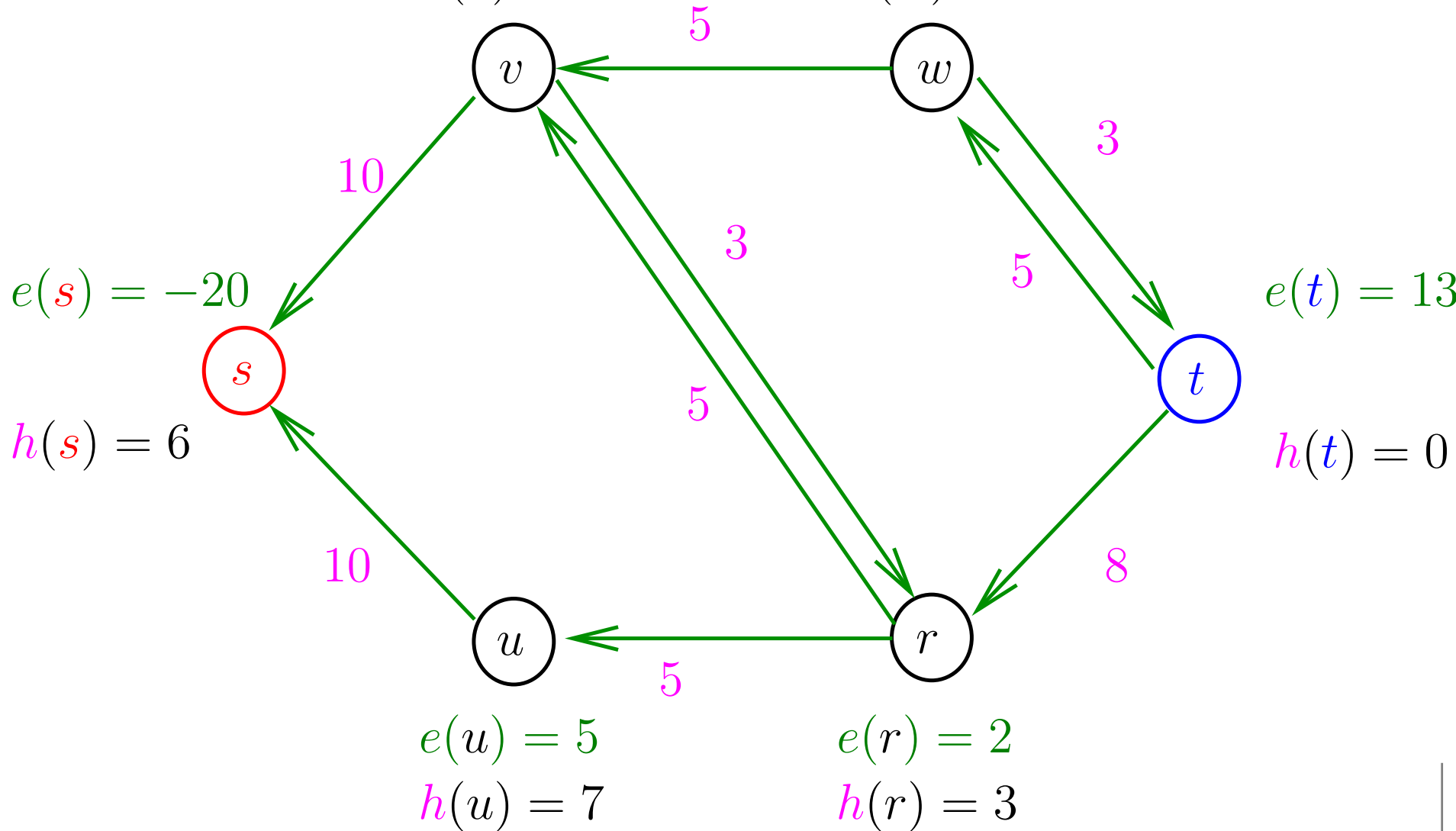
$$L = \langle u, r \rangle$$

$$e(v) = 0$$

$$h(v) = 2$$

$$e(w) = 0$$

$$h(w) = 1$$



Node-Examination (u)

$$L = \langle r \rangle$$

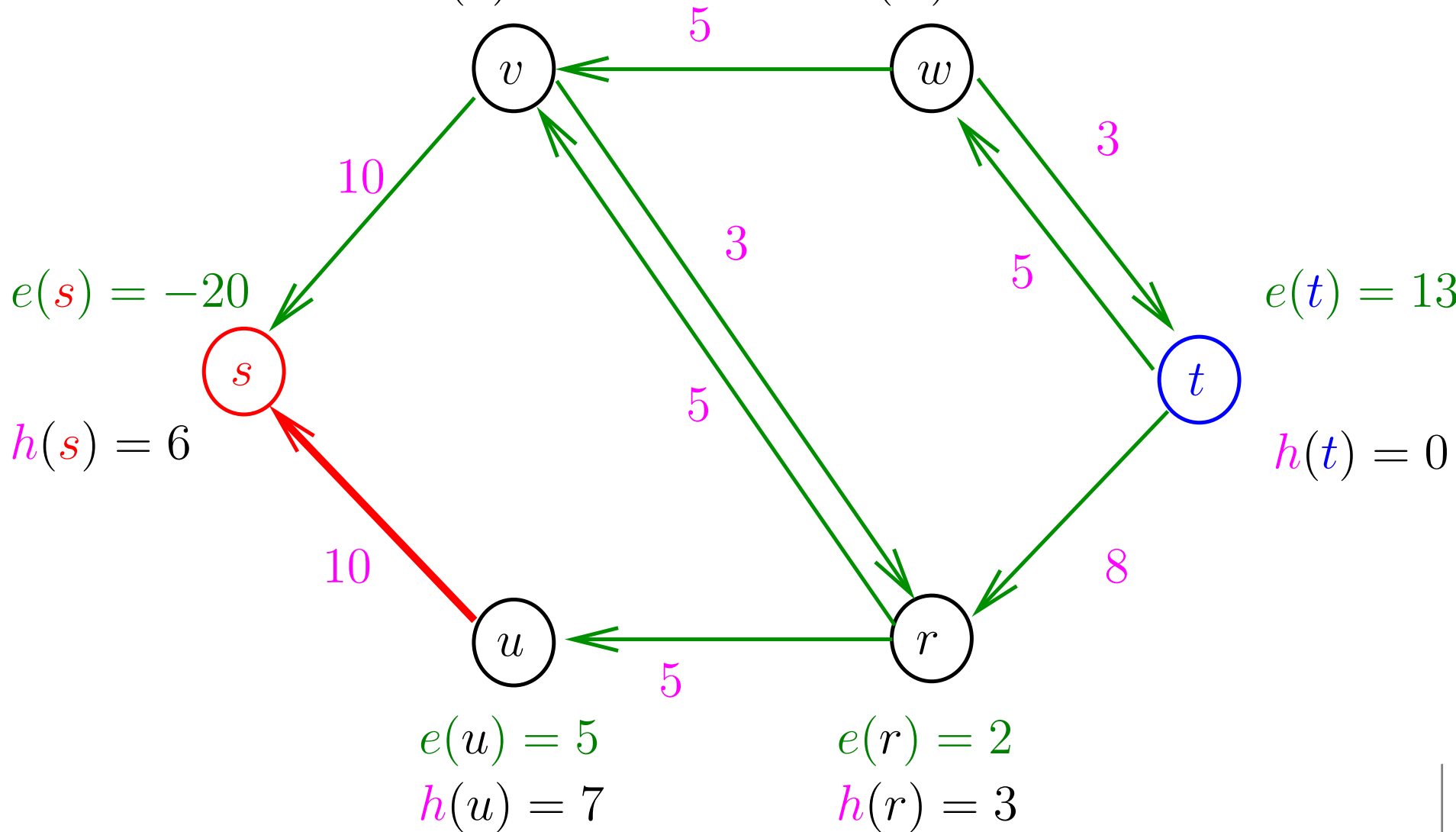
$$e(v) = 0$$

$$h(v) = 2$$

$$e(w) = 0$$

$$h(w) = 1$$

PUSH(us)



Rede residual 6

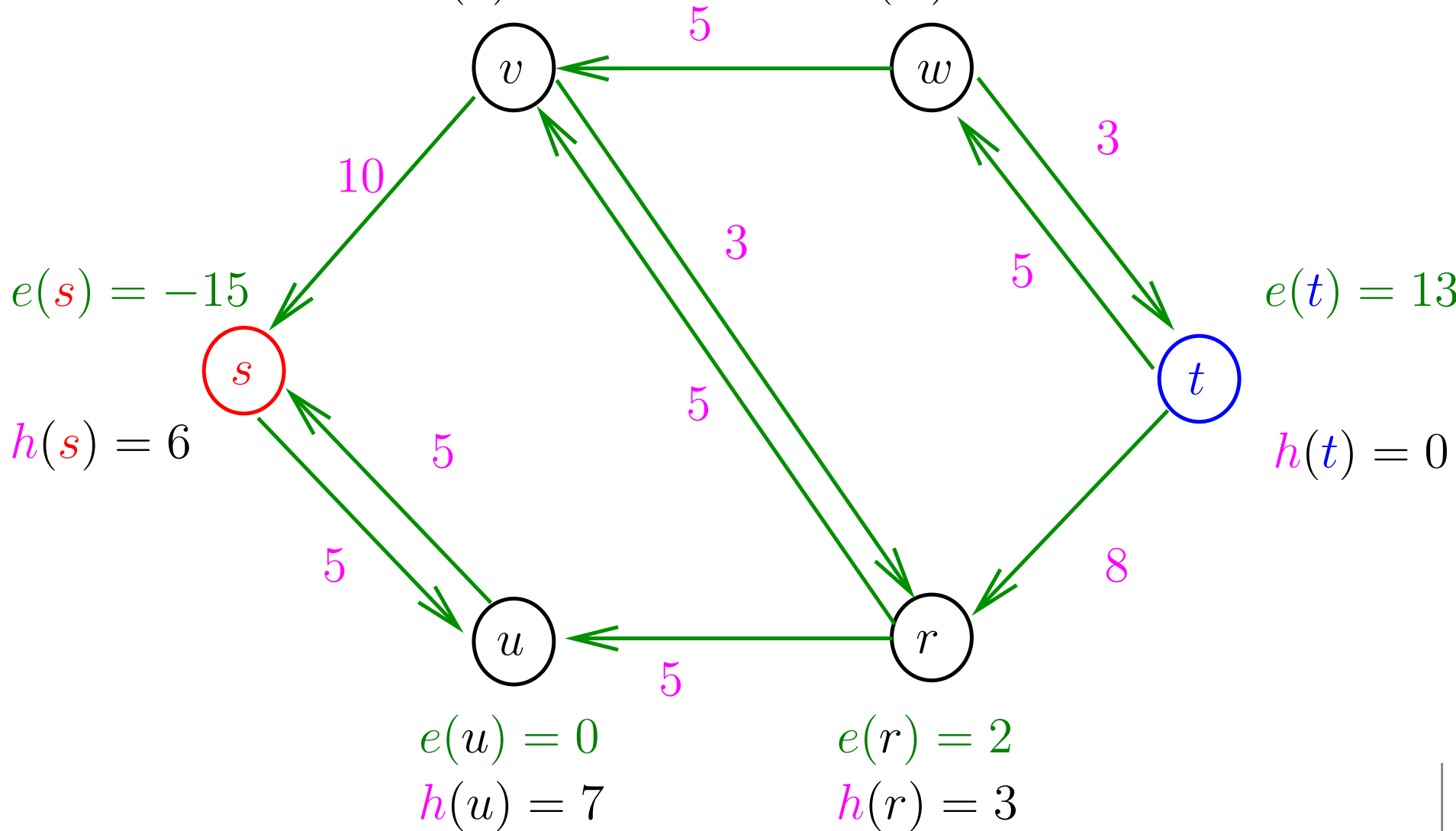
$$L = \langle r \rangle$$

$$e(v) = 0$$

$$h(v) = 2$$

$$e(w) = 0$$

$$h(w) = 1$$



Node-Examination (r)

$L = \langle \rangle$

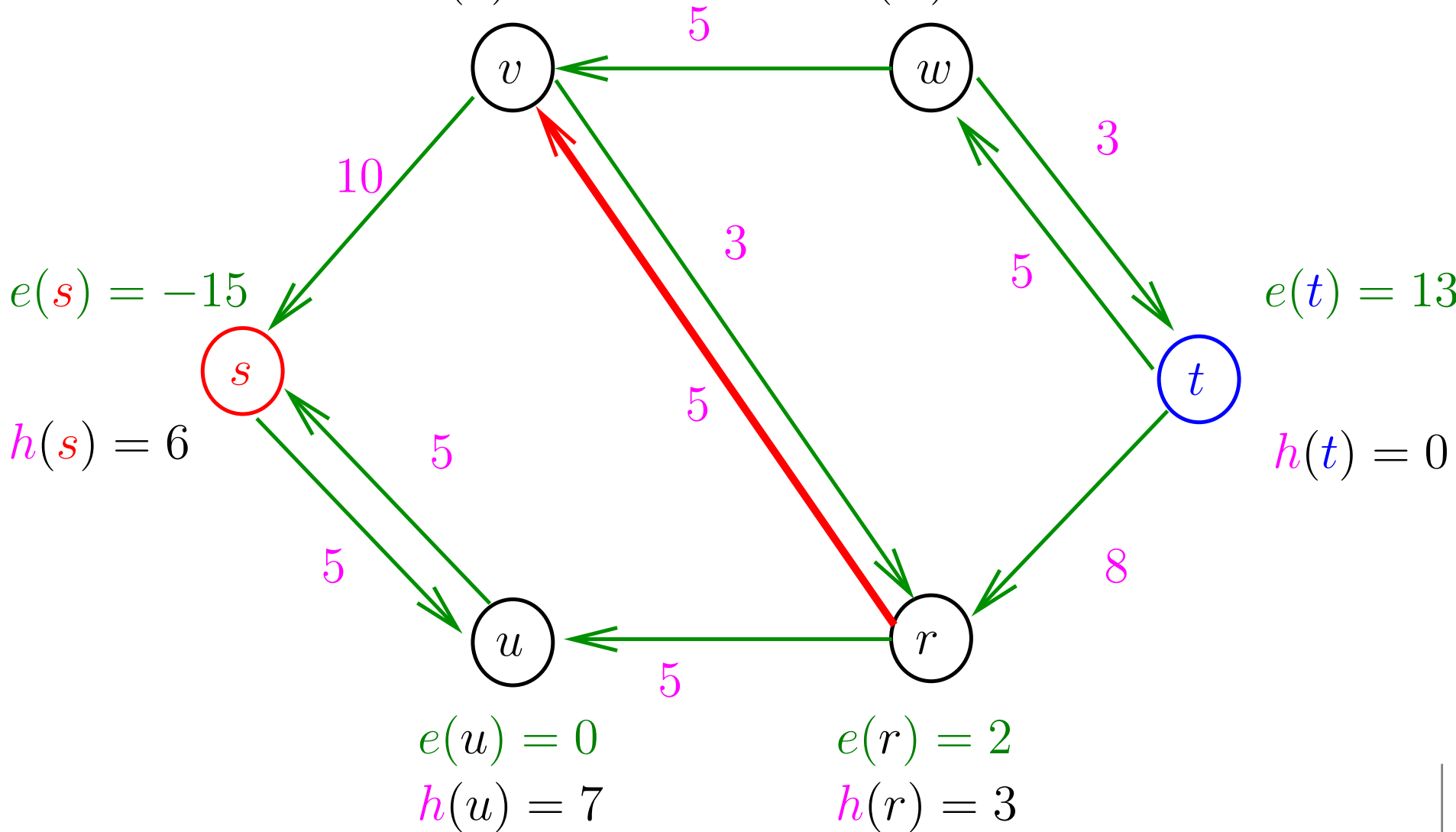
$$e(v) = 0$$

$$h(v) = 2$$

$$e(w) = 0$$

$$h(w) = 1$$

PUSH(rv)



Rede residual 7

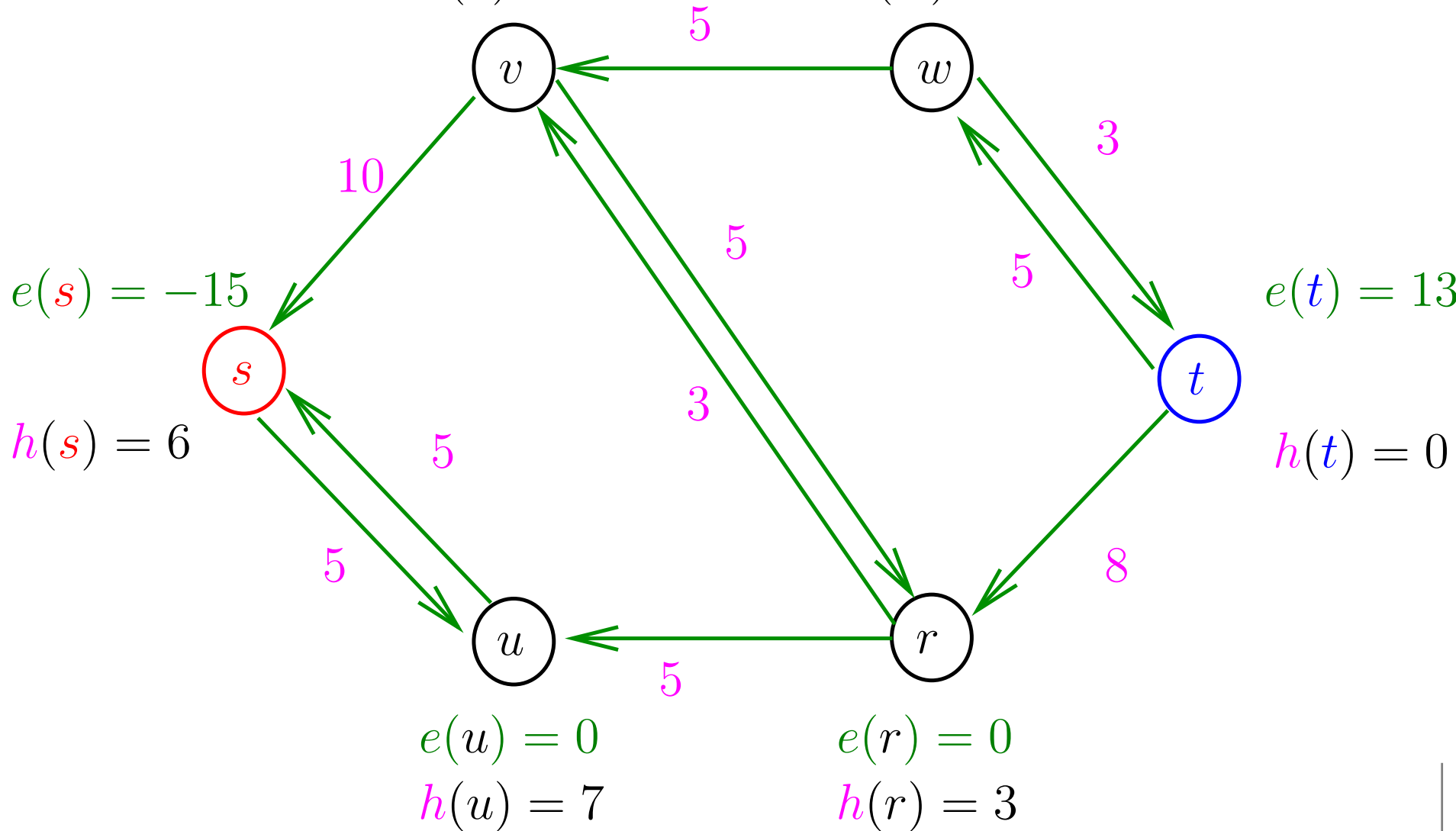
$$L = \langle v \rangle$$

$$e(v) = 2$$

$$e(w) = 0$$

$$h(v) = 2$$

$$h(w) = 1$$



Node-Examination (v)

$$L = \langle \rangle$$

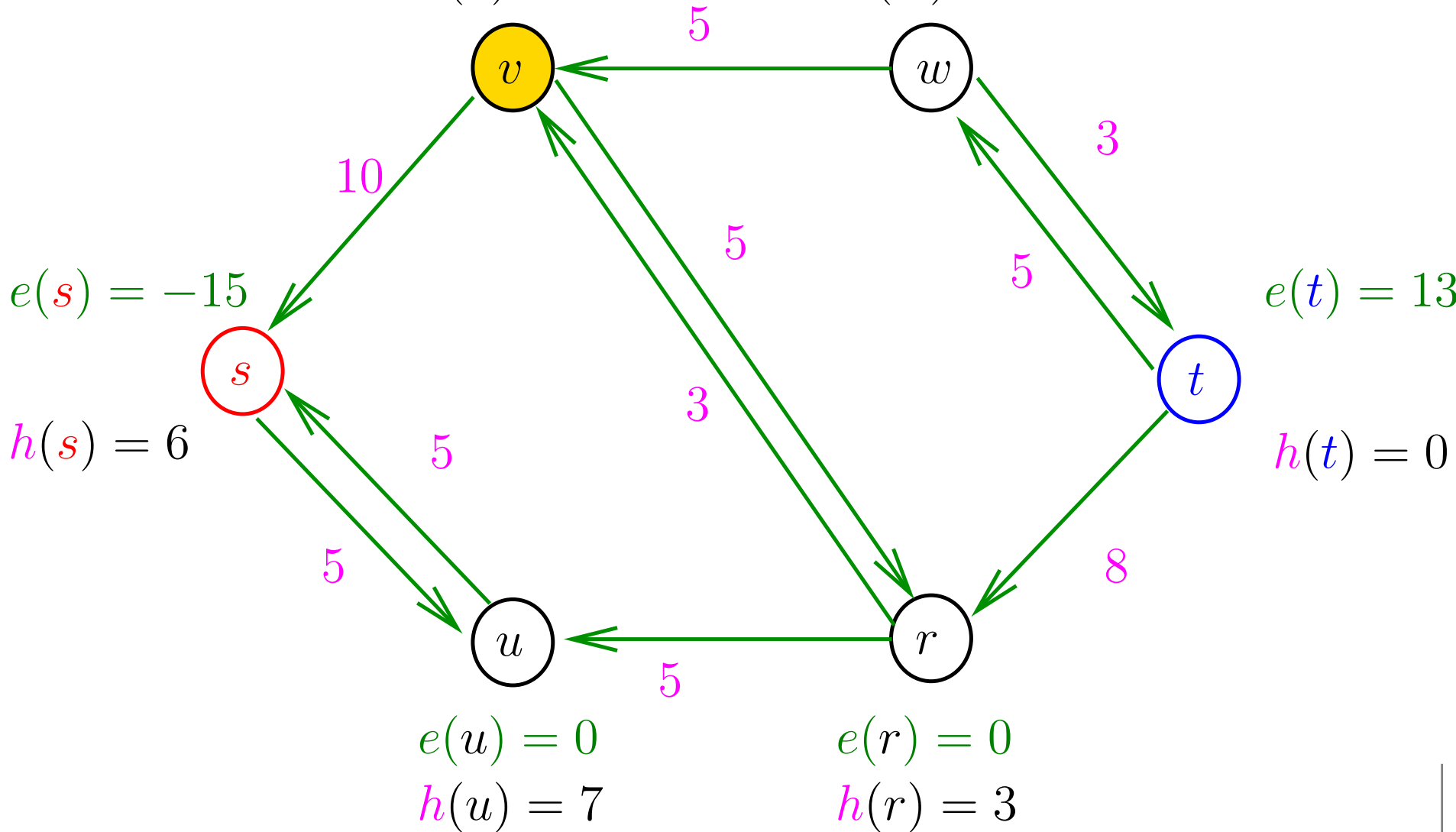
$$e(v) = 2$$

$$h(v) = 2$$

$$e(w) = 0$$

$$h(w) = 1$$

RELABEL(v)



Rede residual 8

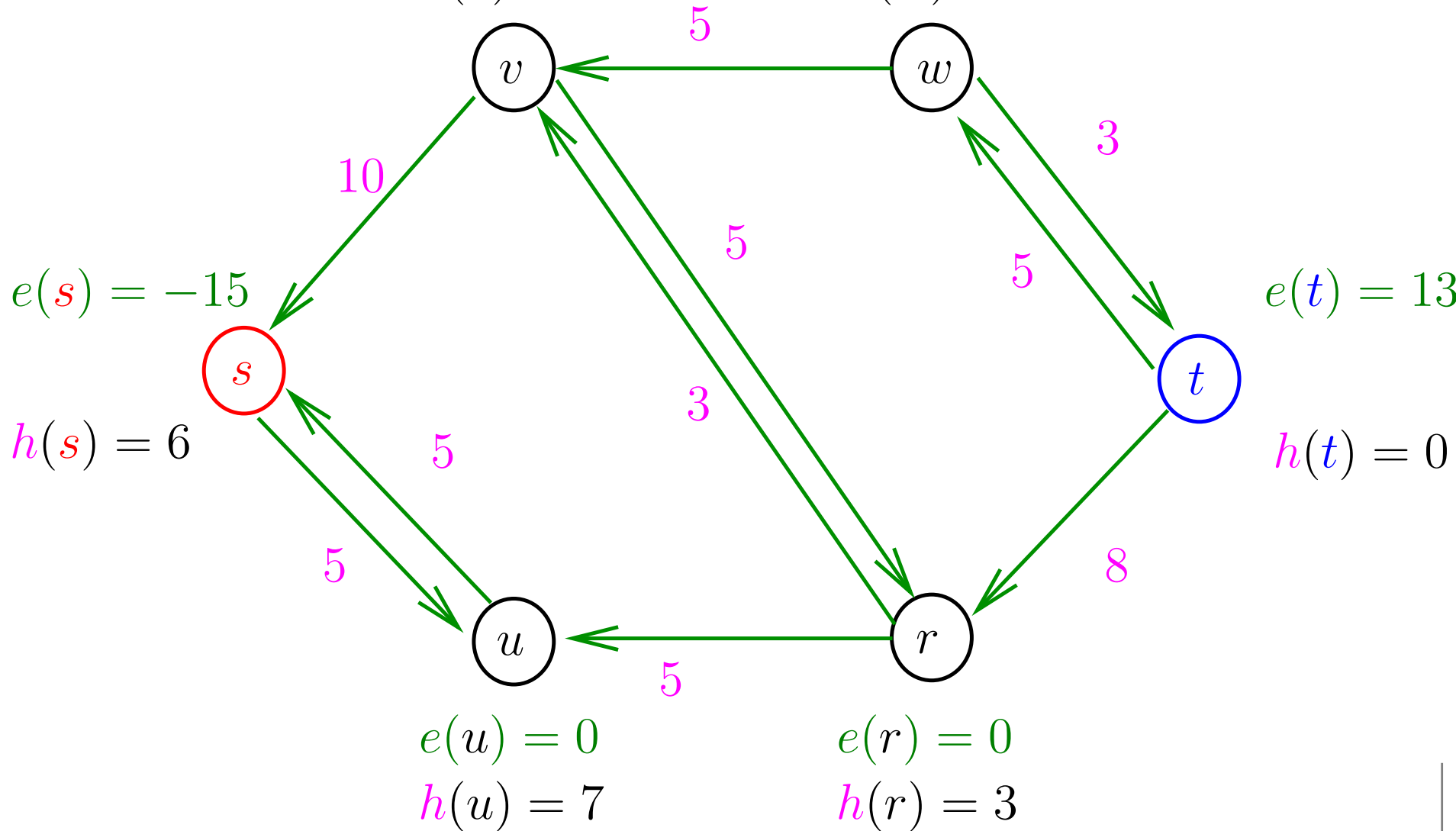
$$L = \langle v \rangle$$

$$e(v) = 2$$

$$h(v) = 4$$

$$e(w) = 0$$

$$h(w) = 1$$



Node-Examination (v)

$L = \langle \rangle$

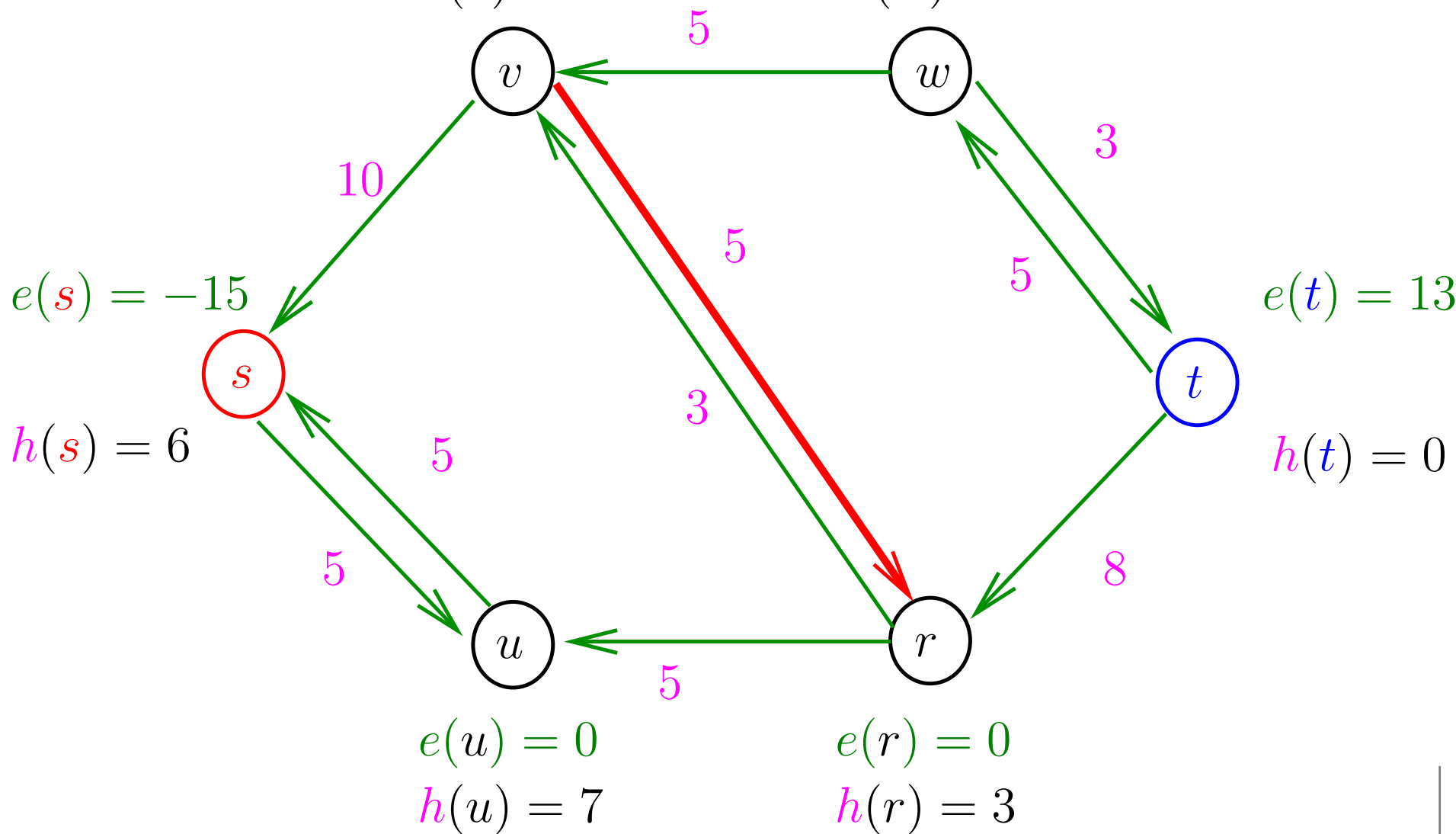
$$e(v) = 2$$

$$h(v) = 4$$

$$e(w) = 0$$

$$h(w) = 1$$

PUSH(vr)



Rede residual 9

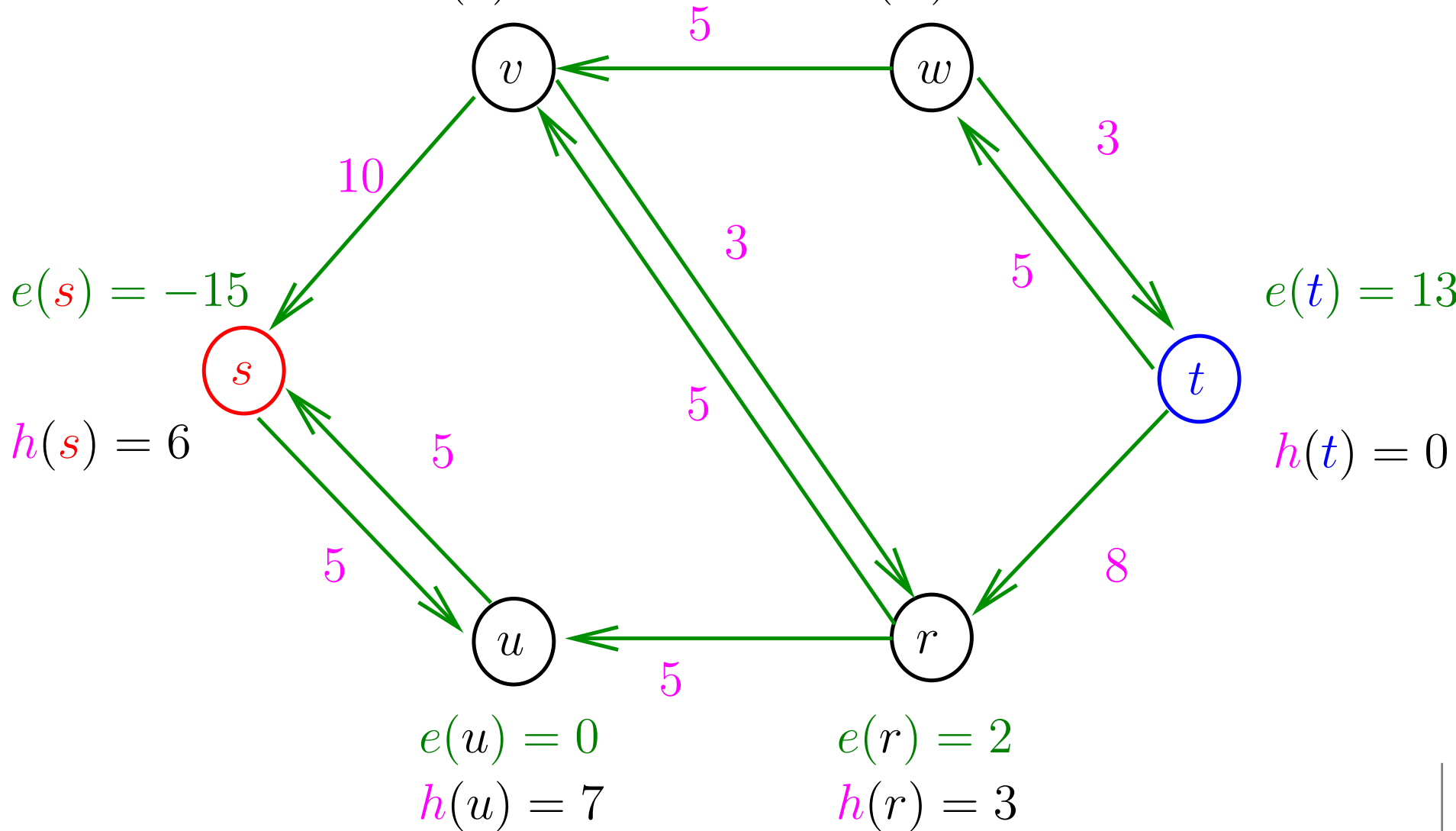
$$L = \langle r \rangle$$

$$e(v) = 0$$

$$h(v) = 4$$

$$e(w) = 0$$

$$h(w) = 1$$



Node-Examination (r)

$L = \langle \rangle$

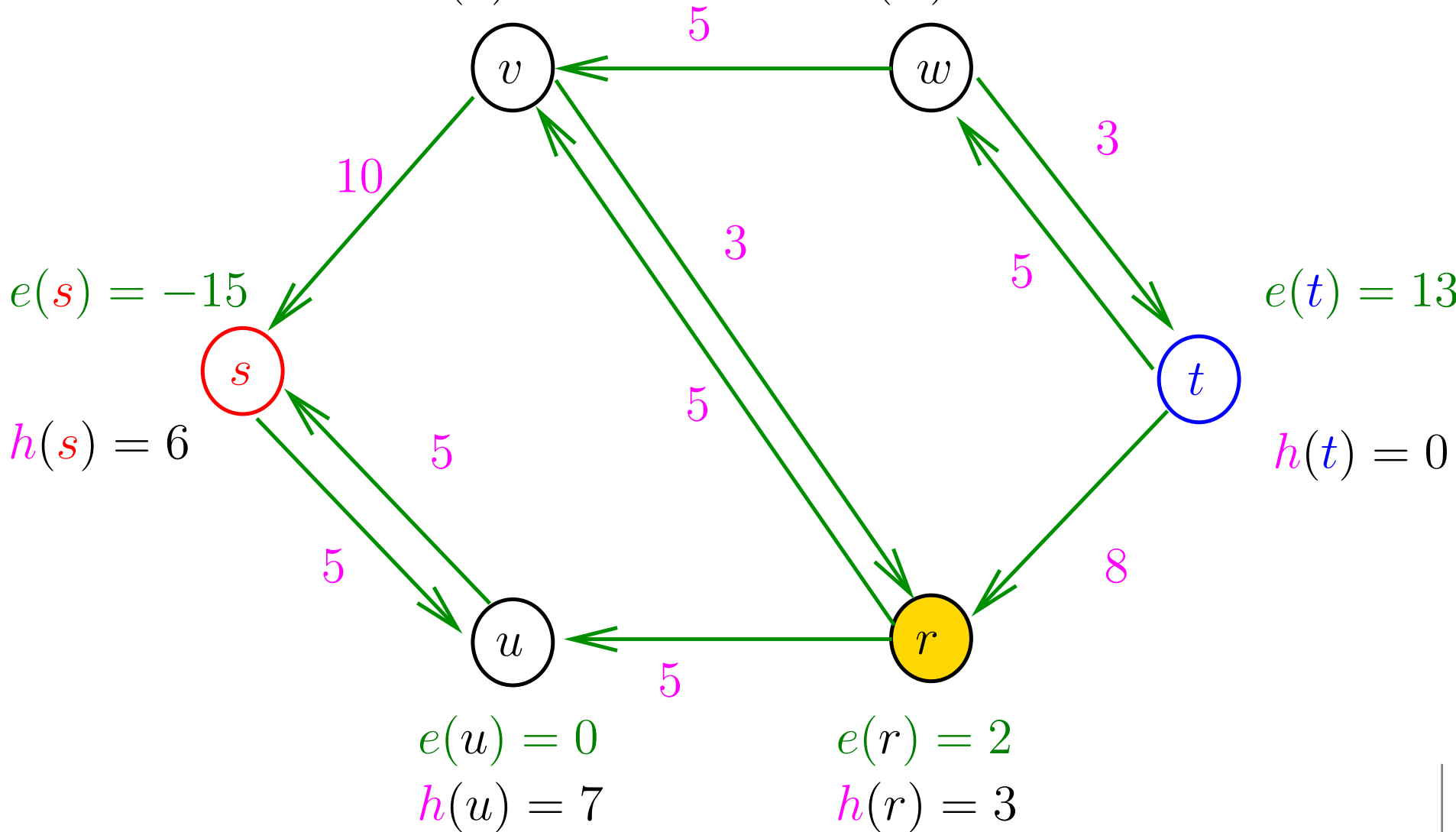
$$e(v) = 0$$

$$h(v) = 4$$

$$e(w) = 0$$

$$h(w) = 1$$

RELABEL(r)



Rede residual 10

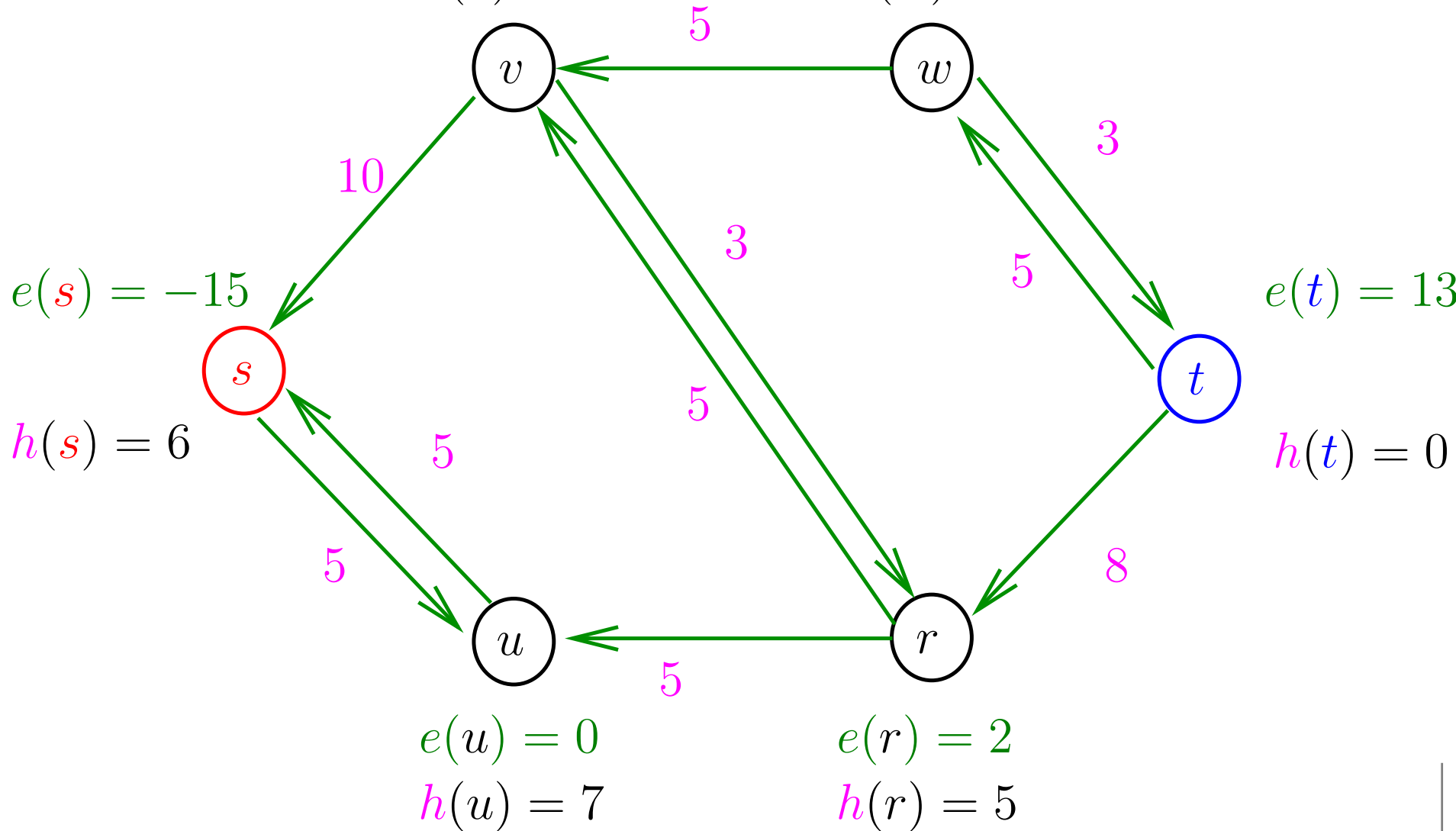
$$L = \langle r \rangle$$

$$e(v) = 0$$

$$h(v) = 4$$

$$e(w) = 0$$

$$h(w) = 1$$



Node-Examination (r)

$L = \langle \rangle$

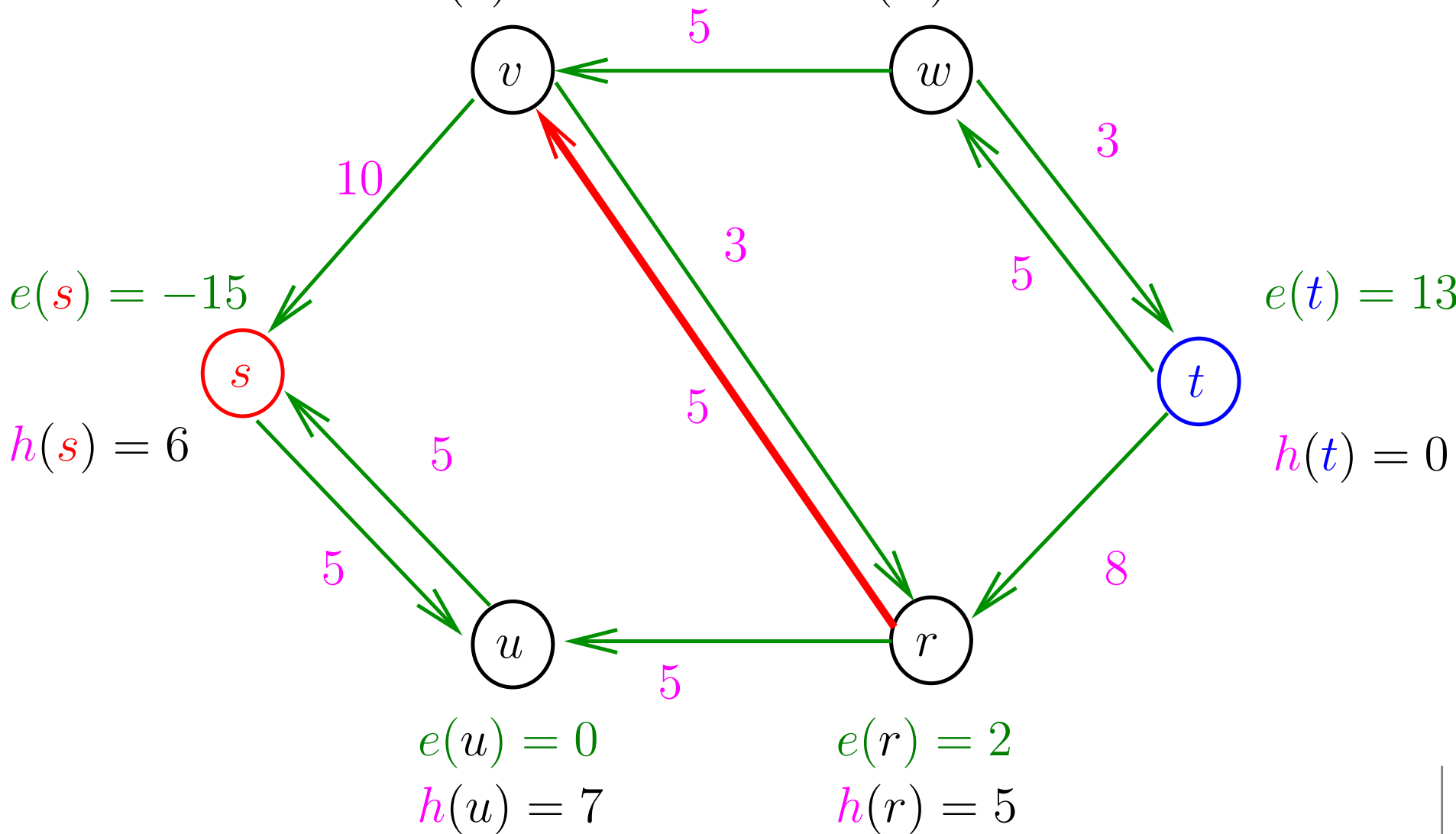
$e(v) = 0$

$h(v) = 4$

$e(w) = 0$

$h(w) = 1$

PUSH(rv)



Rede residual 11

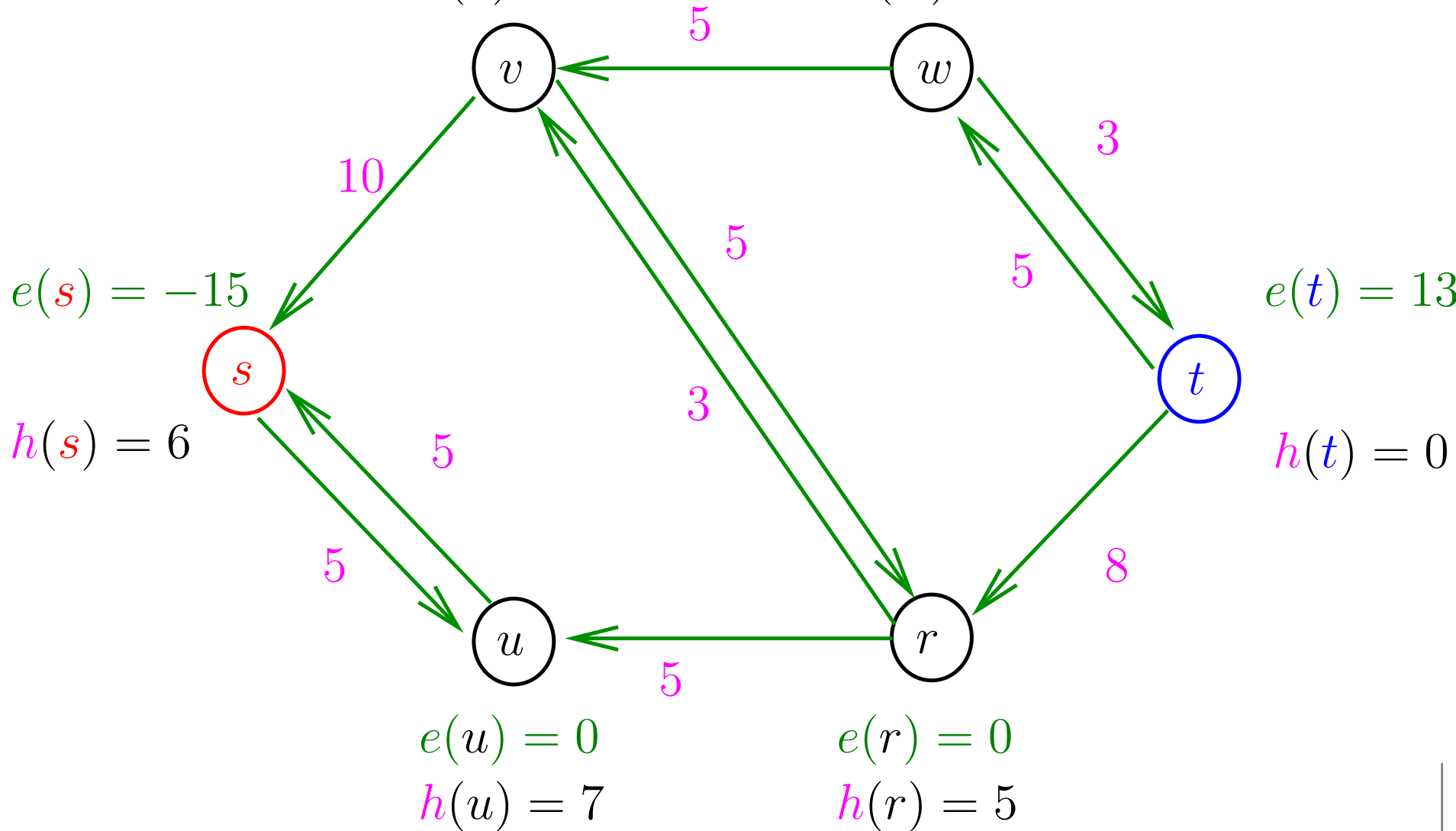
$$L = \langle v \rangle$$

$$e(v) = 2$$

$$h(v) = 4$$

$$e(w) = 0$$

$$h(w) = 1$$



Node-Examination (v)

$L = \langle \rangle$

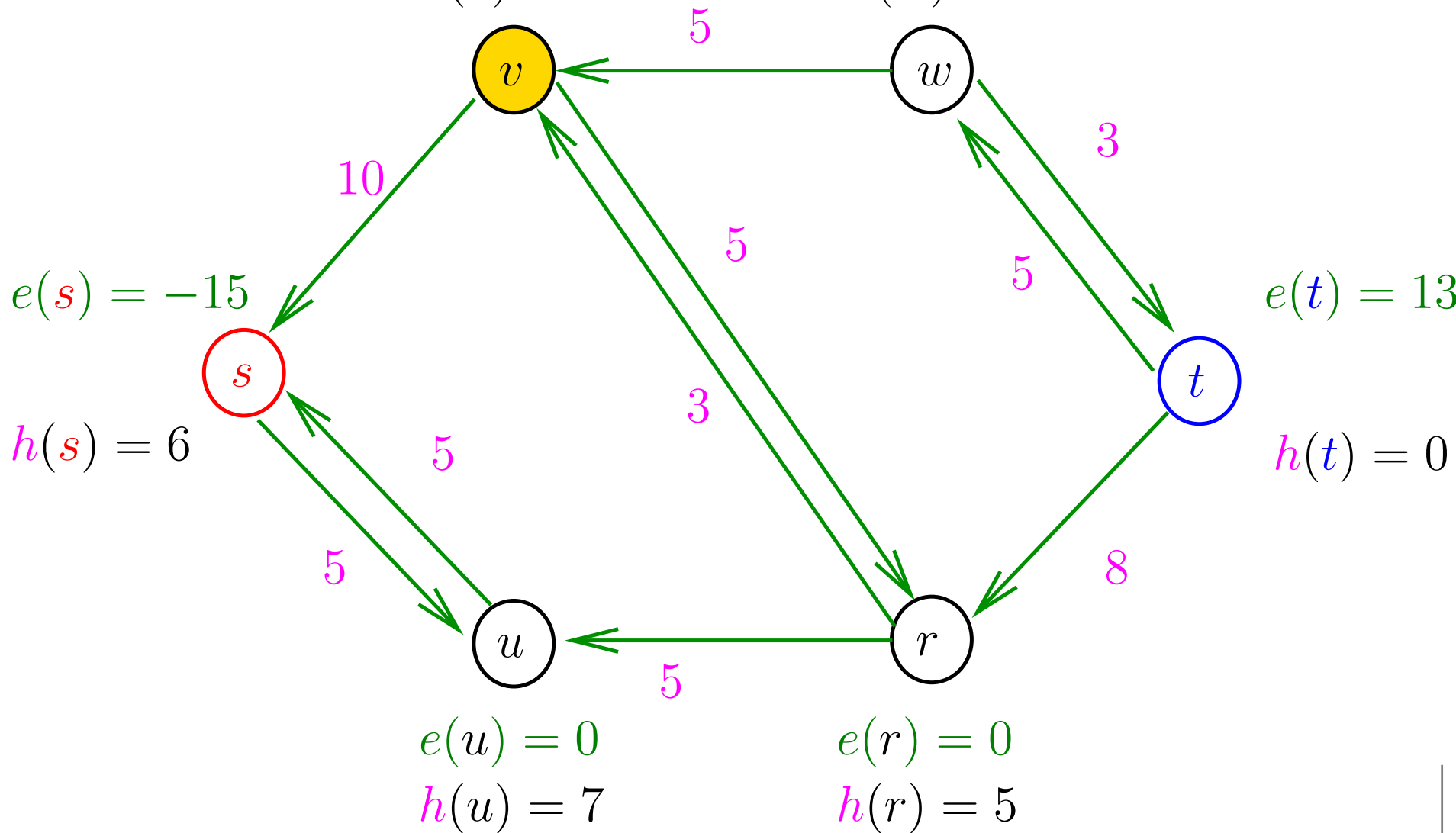
$$e(v) = 2$$

$$h(v) = 4$$

$$e(w) = 0$$

$$h(w) = 1$$

RELABEL(v)



Rede residual 12

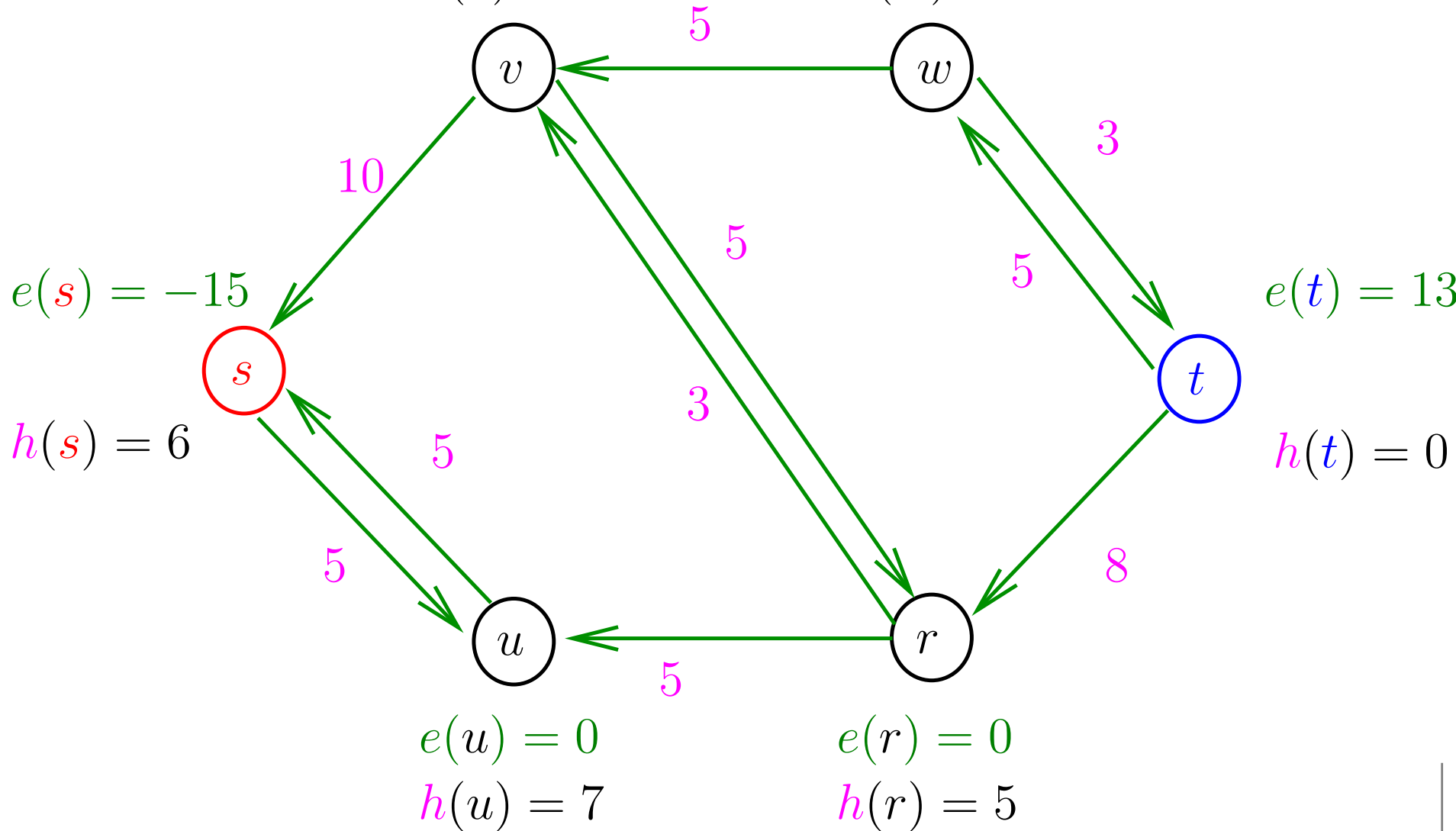
$$L = \langle v \rangle$$

$$e(v) = 2$$

$$e(w) = 0$$

$$h(v) = 6$$

$$h(w) = 1$$



Node-Examination (v)

$L = \langle \rangle$

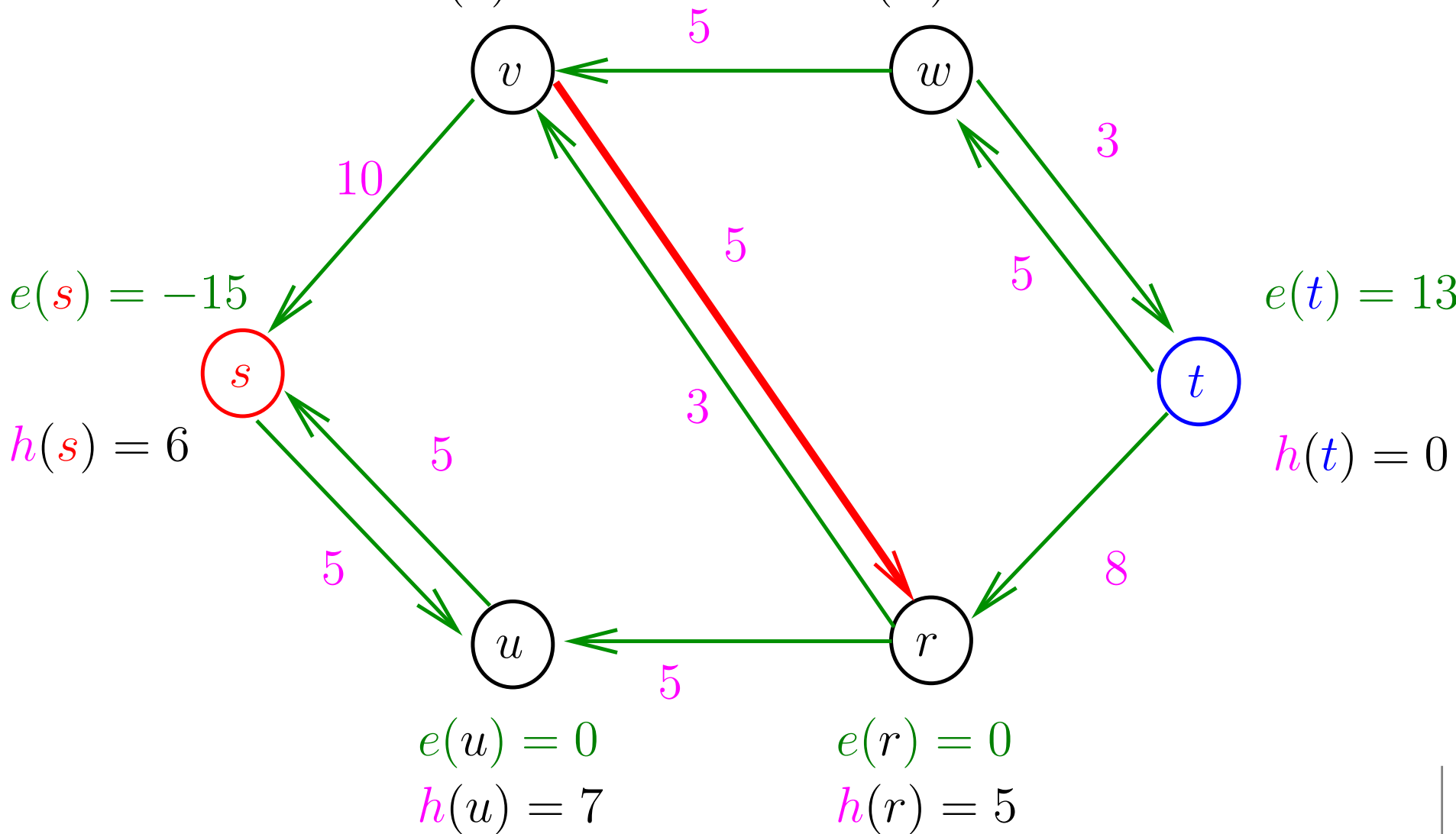
$$e(v) = 2$$

$$h(v) = 6$$

$$e(w) = 0$$

$$h(w) = 1$$

PUSH(vr)



Rede residual 13

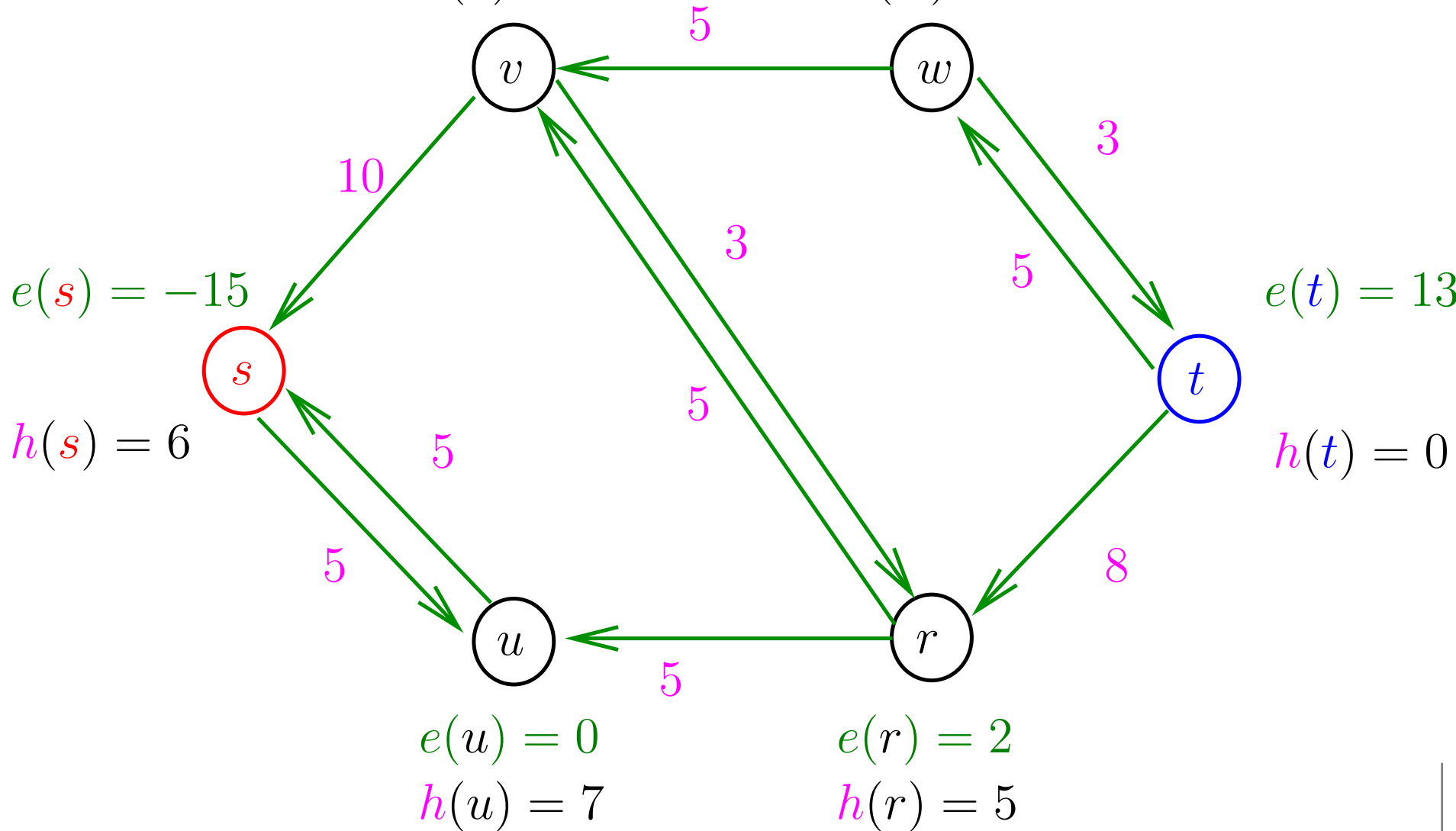
$$L = \langle r \rangle$$

$$e(v) = 0$$

$$h(v) = 6$$

$$e(w) = 0$$

$$h(w) = 1$$



Node-Examination (r)

$L = \langle \rangle$

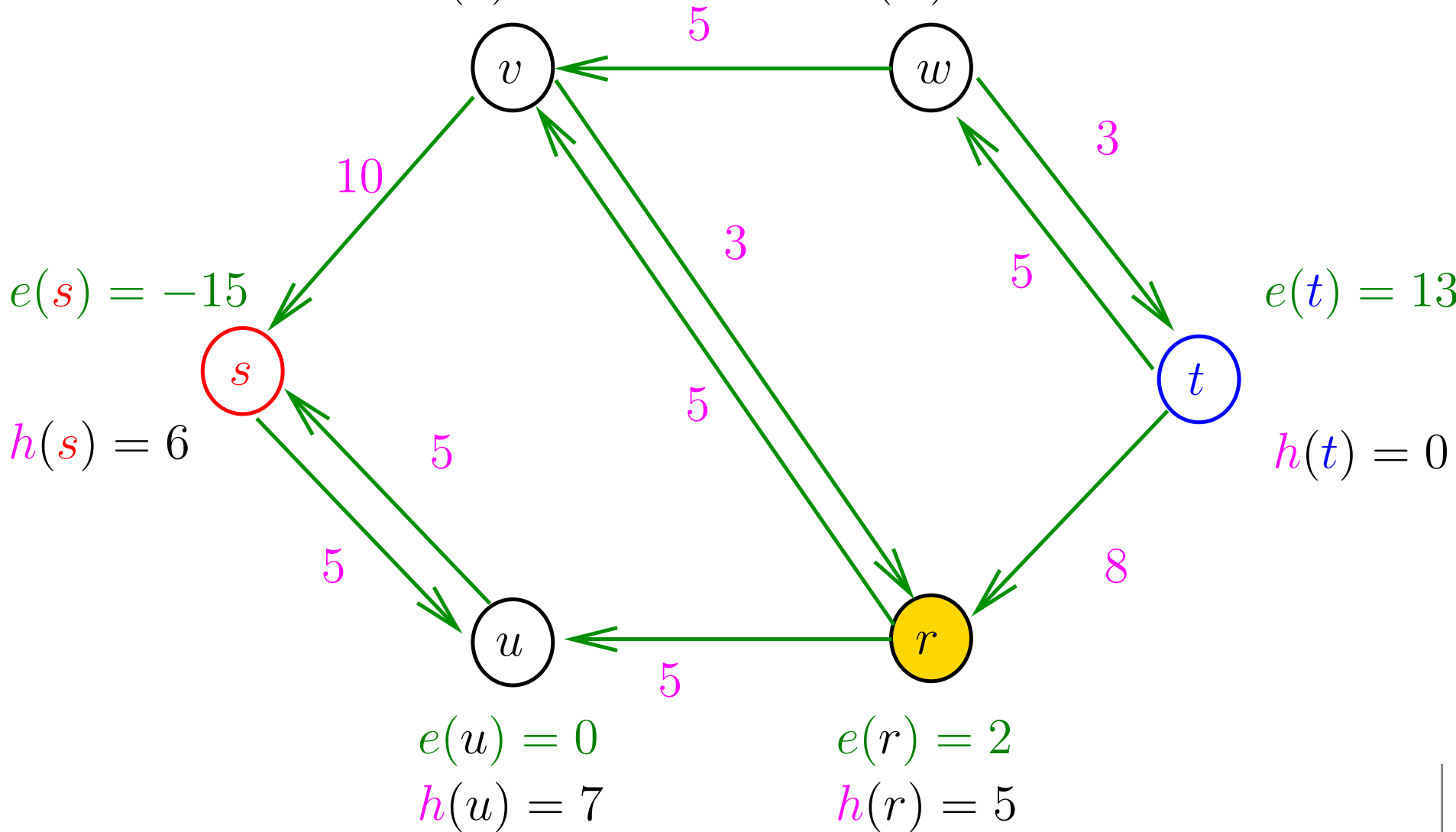
$$e(v) = 0$$

$$h(v) = 6$$

$$e(w) = 0$$

$$h(w) = 1$$

RELABEL(r)



Rede residual 14

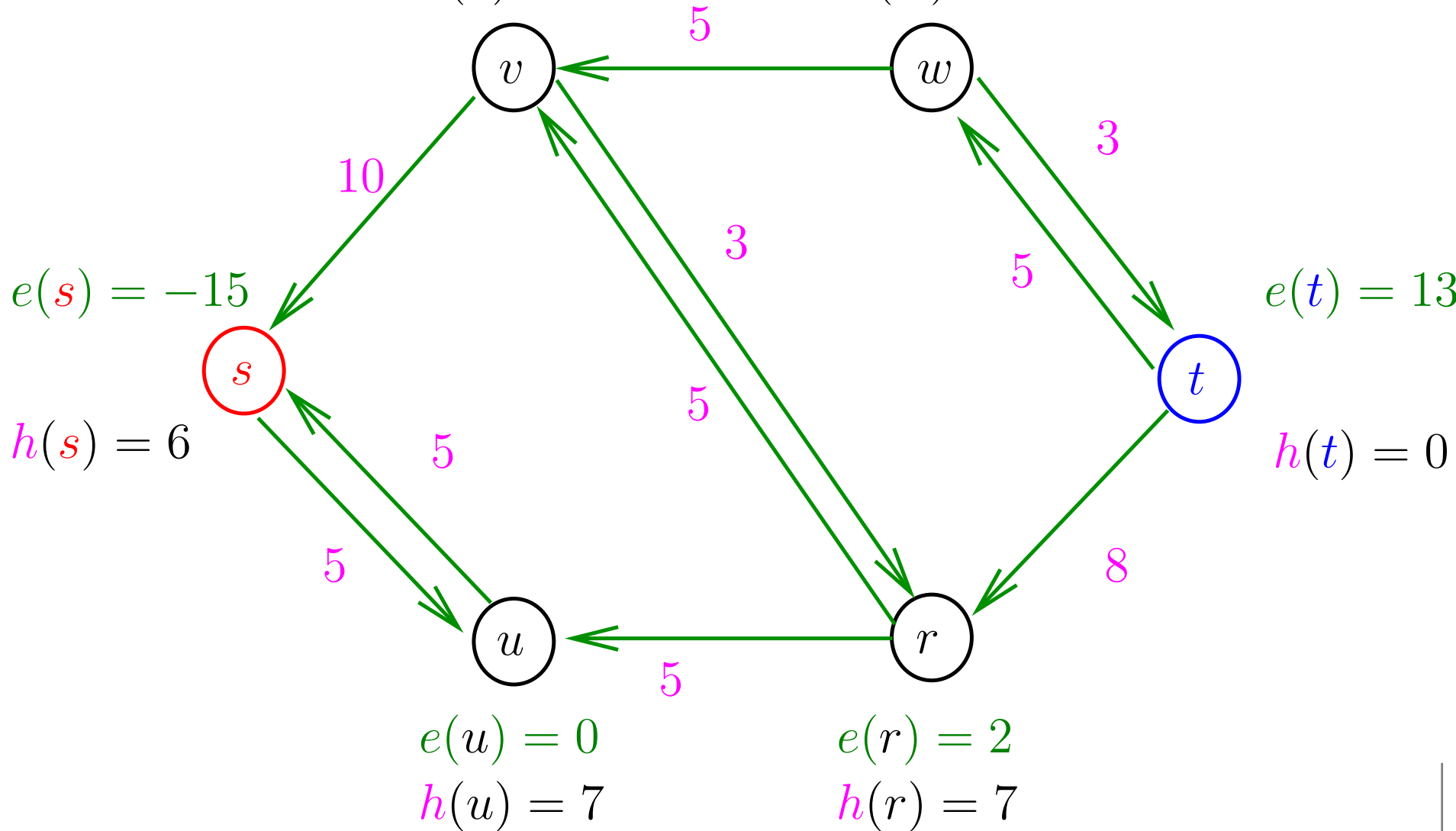
$$L = \langle r \rangle$$

$$e(v) = 0$$

$$h(v) = 6$$

$$e(w) = 0$$

$$h(w) = 1$$



Node-Examination (r)

$L = \langle \rangle$

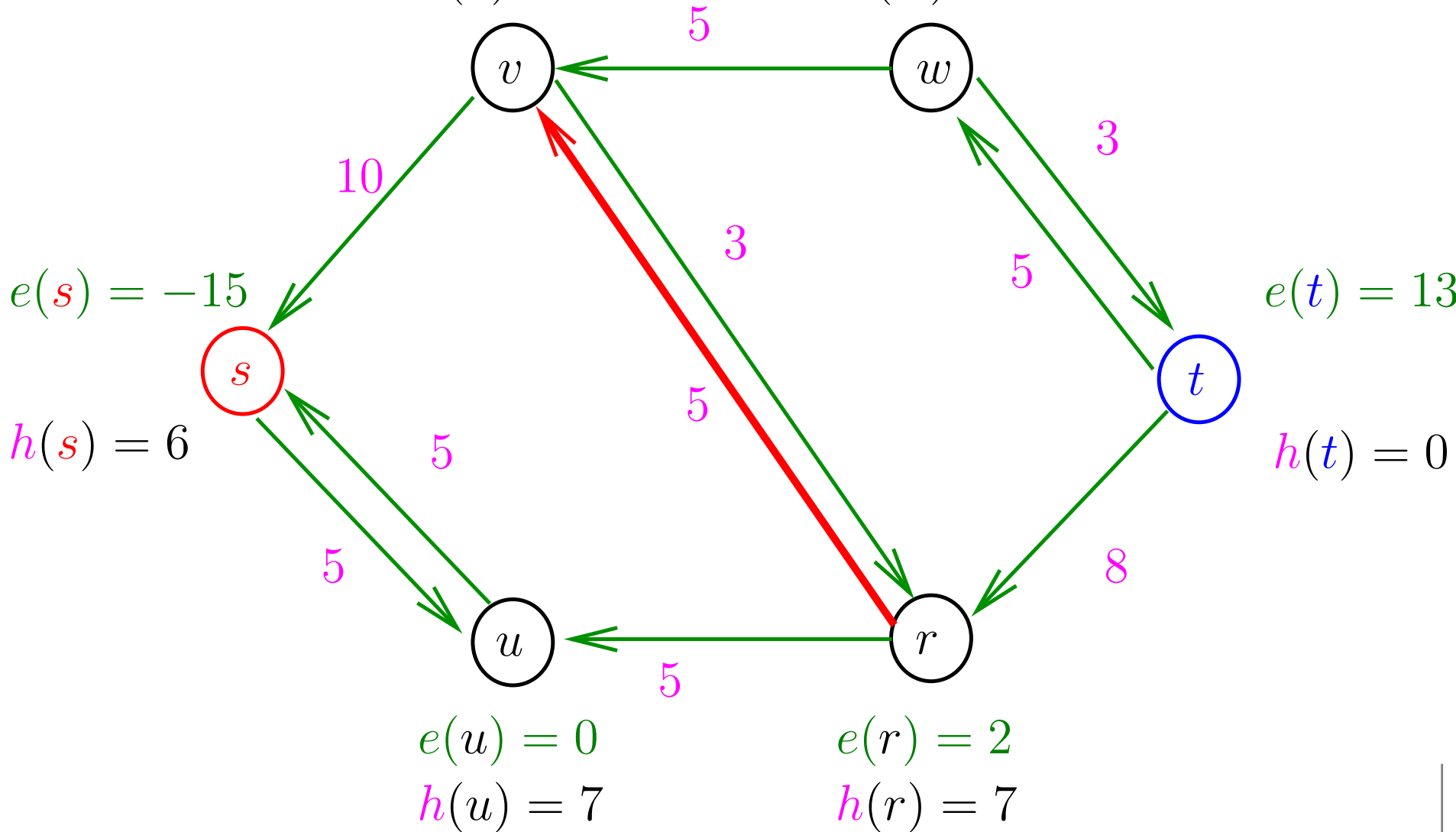
$e(v) = 0$

$h(v) = 6$

$e(w) = 0$

$h(w) = 1$

PUSH(rv)



Rede residual 15

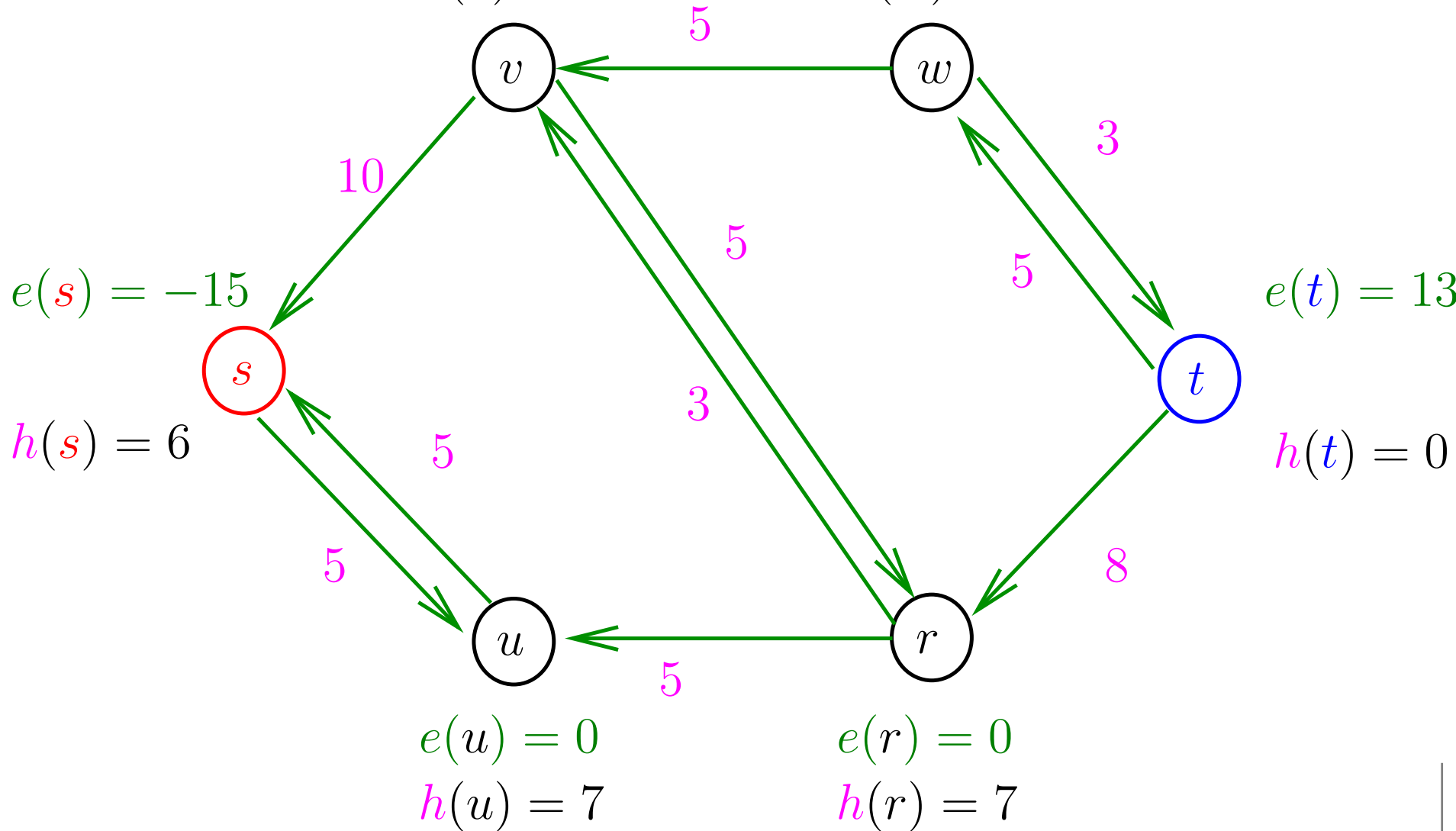
$$L = \langle v \rangle$$

$$e(v) = 2$$

$$h(v) = 6$$

$$e(w) = 0$$

$$h(w) = 1$$



Node-Examination (v)

$L = \langle \rangle$

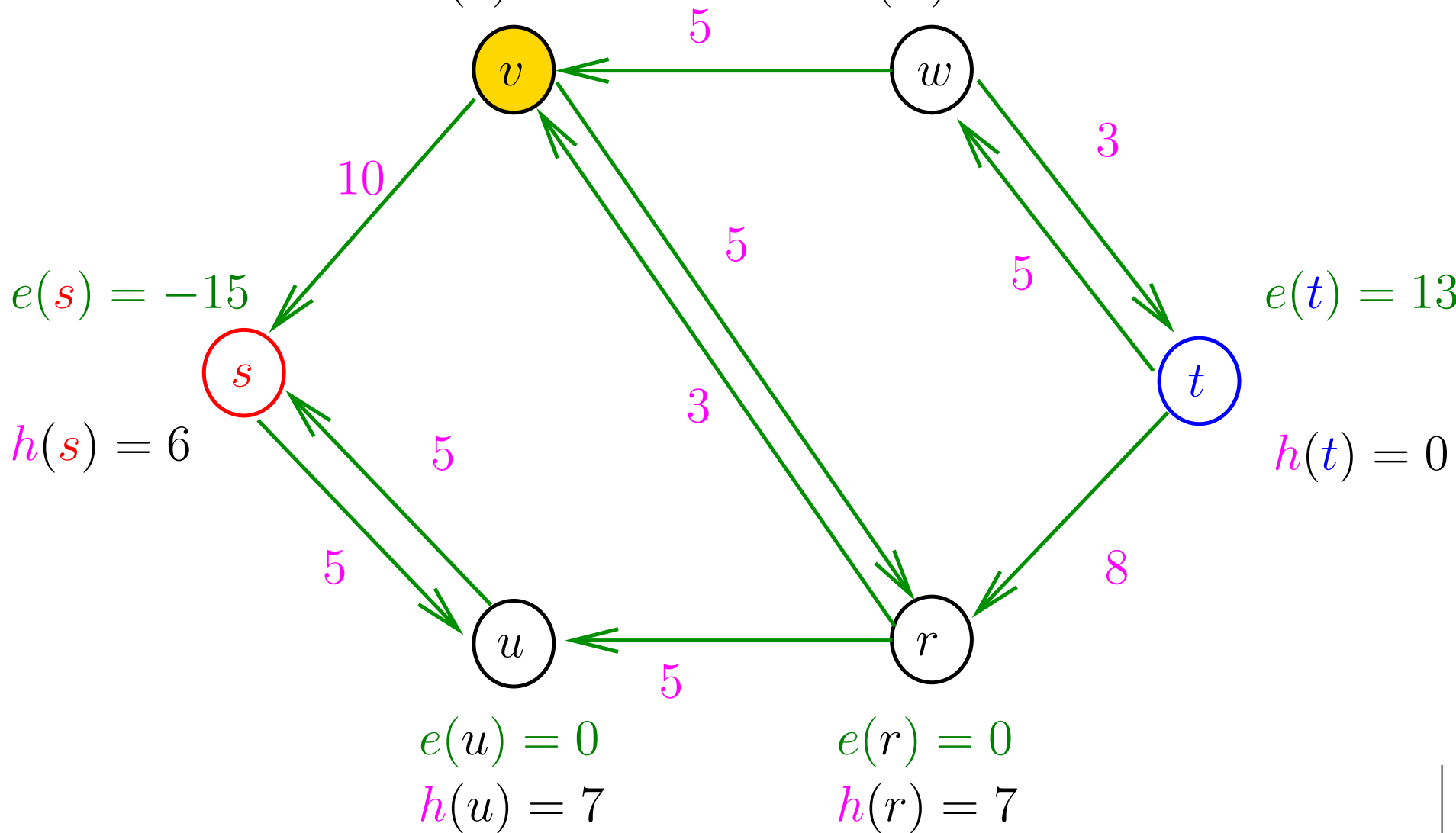
$$e(v) = 2$$

$$h(v) = 6$$

$$e(w) = 0$$

$$h(w) = 1$$

RELABEL(v)



Rede residual 16

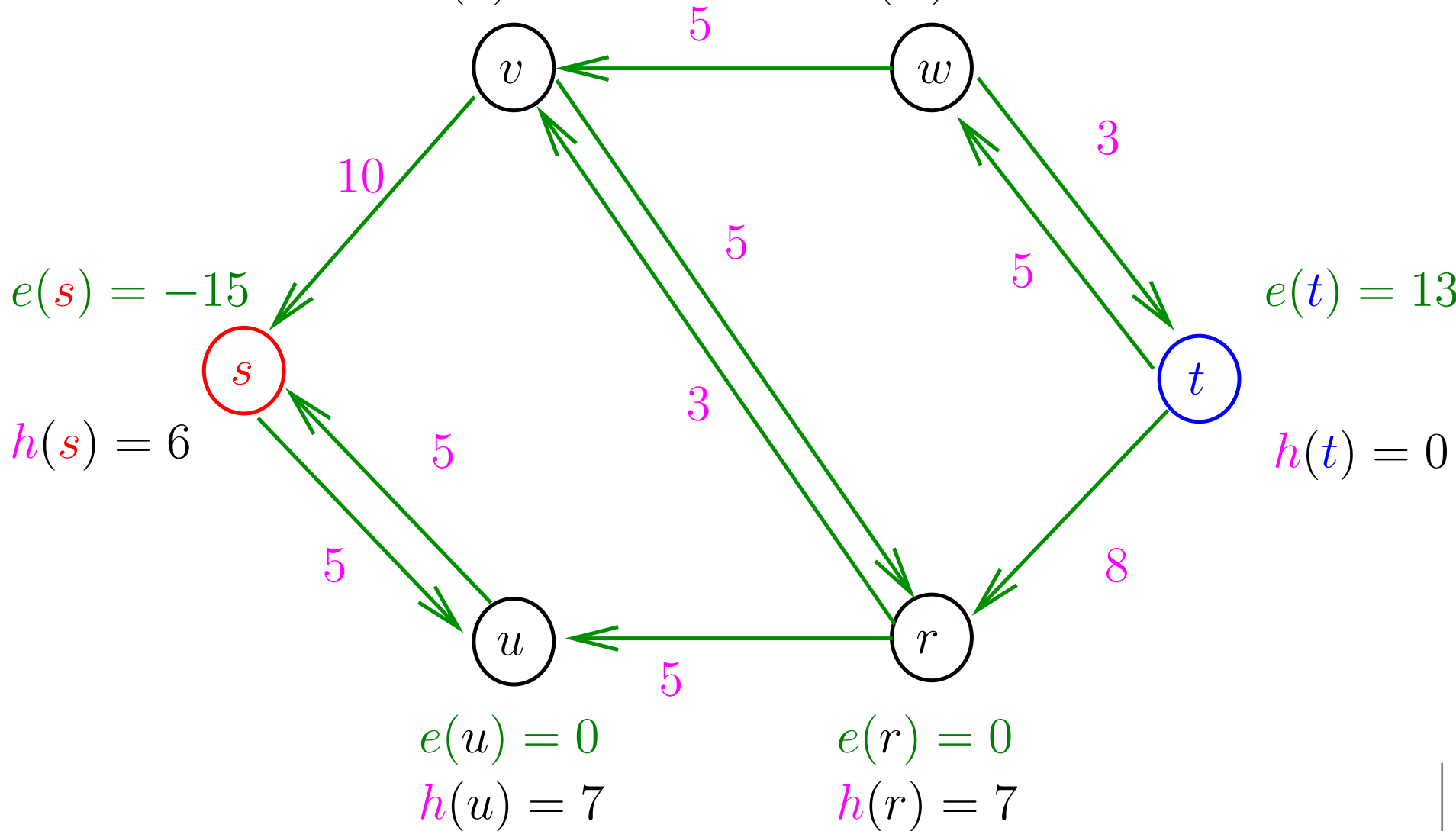
$$L = \langle v \rangle$$

$$e(v) = 2$$

$$e(w) = 0$$

$$h(v) = 7$$

$$h(w) = 1$$



Node-Examination (v)

$L = \langle \rangle$

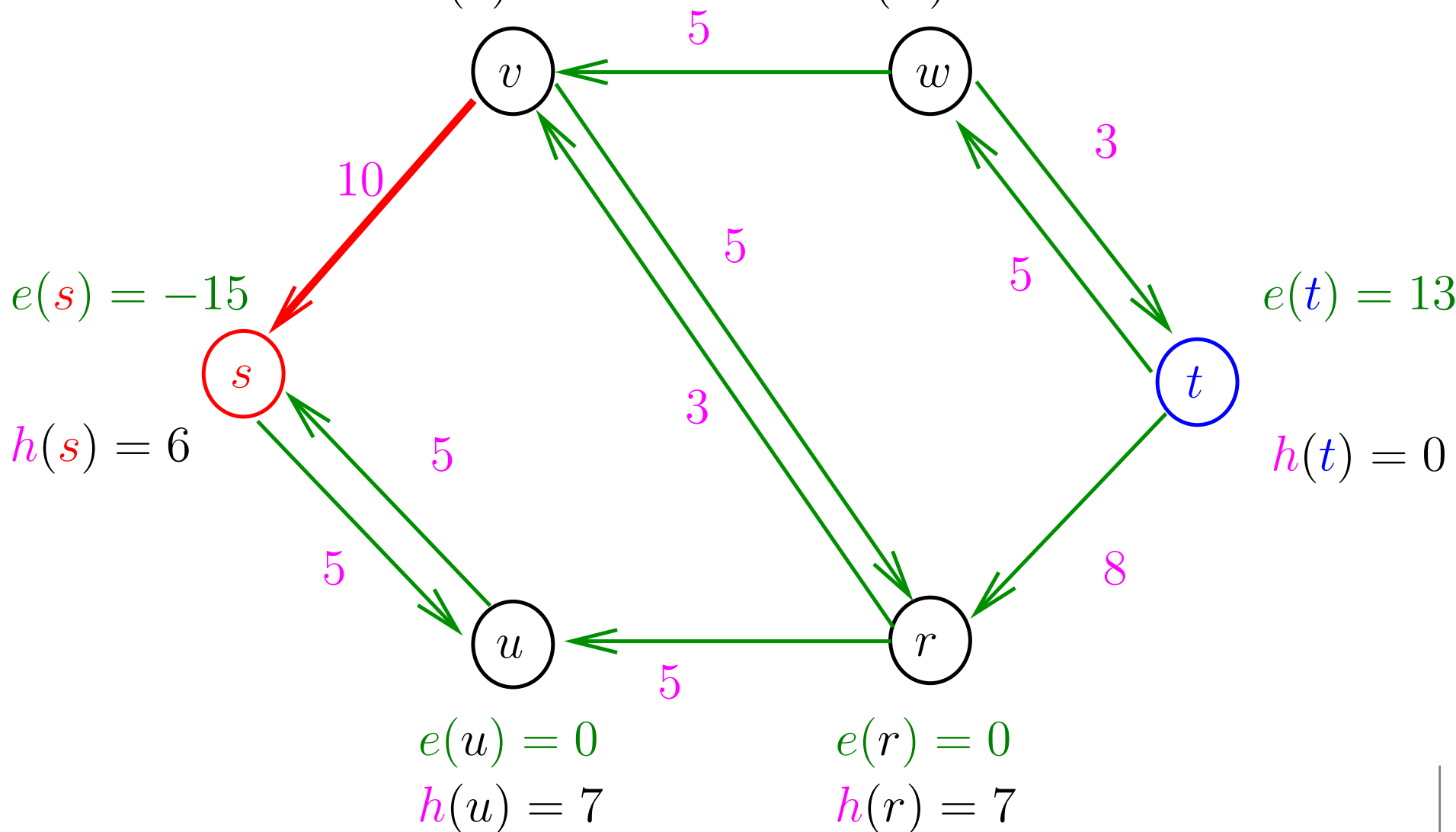
$$e(v) = 2$$

$$h(v) = 7$$

$$e(w) = 0$$

$$h(w) = 1$$

PUSH(vs)



Rede residual 17

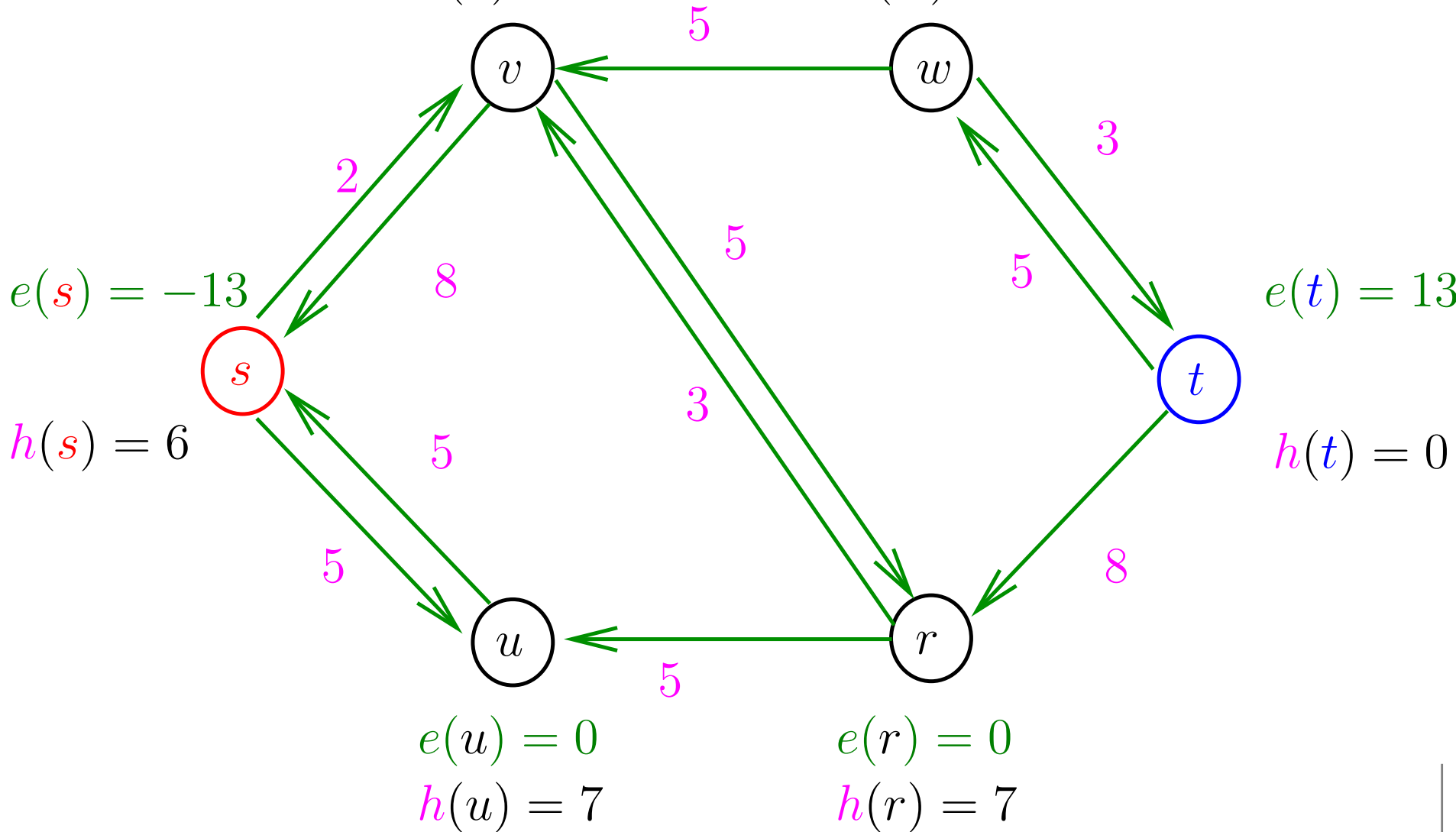
$$L = \langle \rangle$$

$$e(v) = 0$$

$$h(v) = 7$$

$$e(w) = 0$$

$$h(w) = 1$$



Rede residual 17

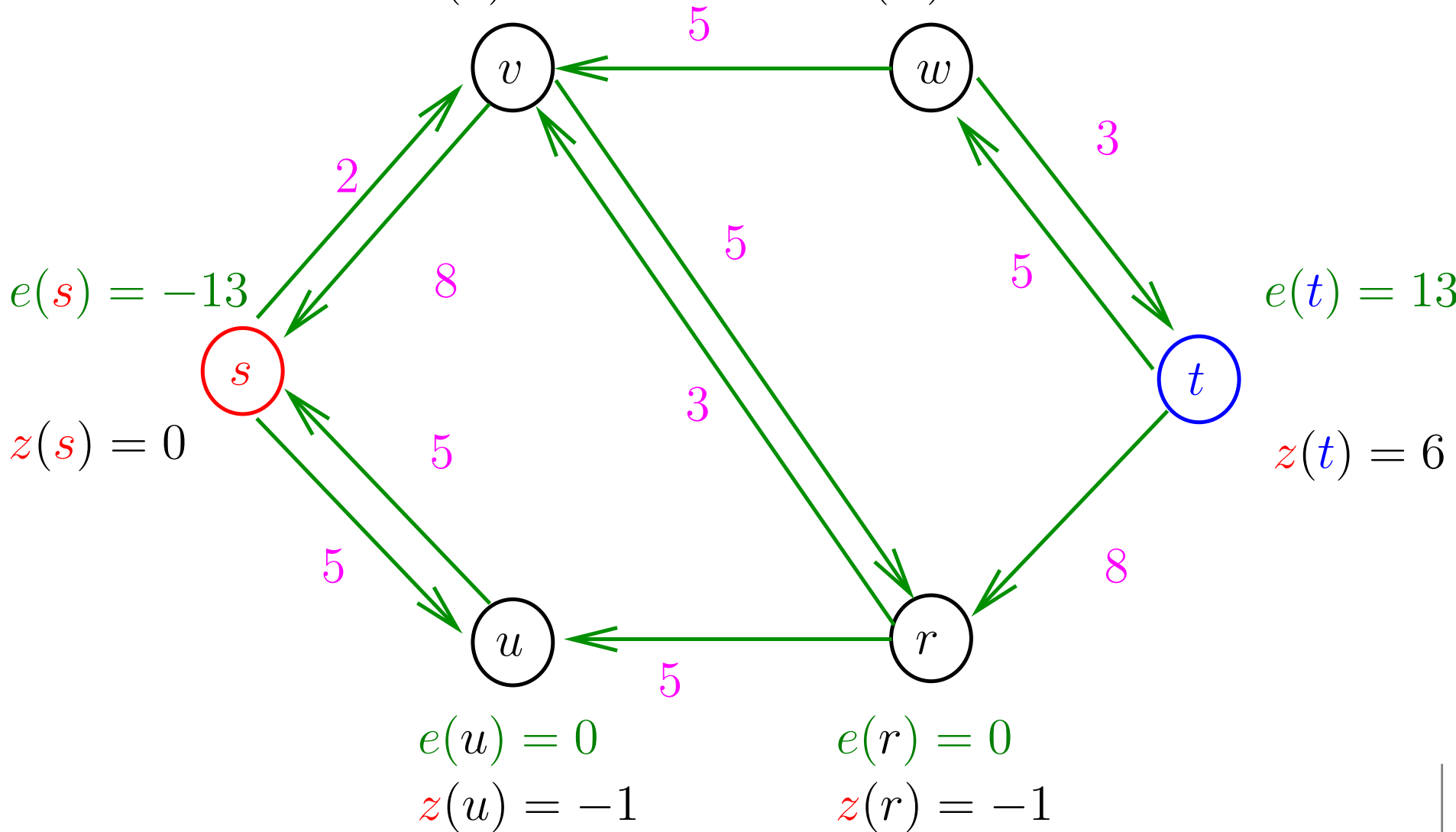
$$L = \langle \rangle$$

$$e(v) = 0$$

$$z(v) = -1$$

$$e(w) = 0$$

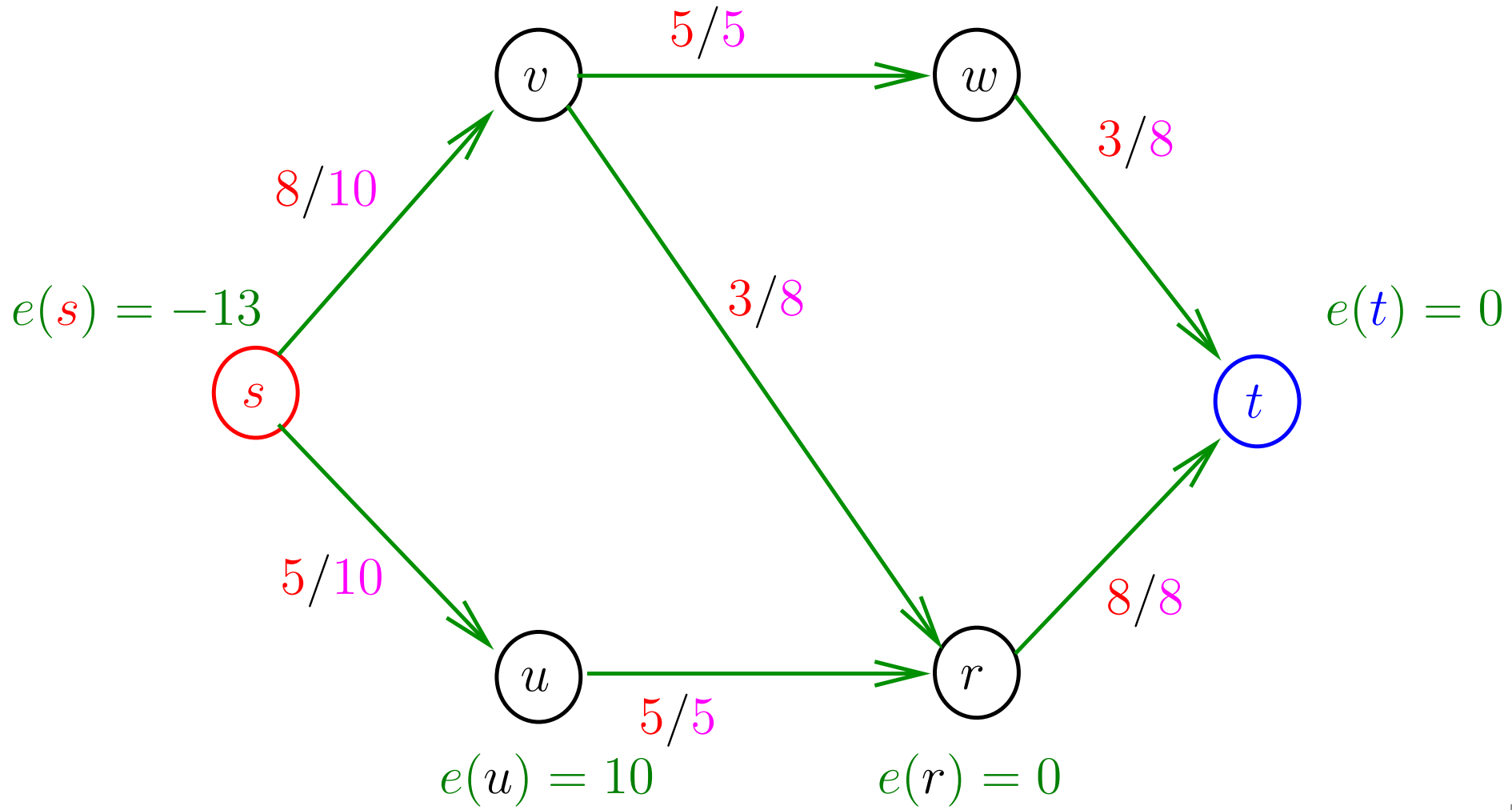
$$z(w) = 5$$



Fluxo máximo

$$e(v) = 13$$

$$e(w) = 0$$



Node-Examination

NODE-EXAMINATION (i)

- 1 $A' \leftarrow A(i)$
- 2 **enquanto** $e(i) > 0$ e $A' \neq \emptyset$ **faça**
- 3 retire uma arco ij de A'
- 4 **se** $\check{x}(ij) < u(ij)$ e ij é justo
- 5 **então** PUSH(ij)
- 6 **se** $e(i) > 0$
- 7 **então** RELABEL(i)

Push

PUSH (ij)

1 $\delta \leftarrow \min\{e(i), u(ij) - \check{x}(ij)\}$

2 $\check{x}(ij) \leftarrow \check{x}(ij) + \delta$

3 $\check{x}(ji) \leftarrow \check{x}(ji) - \delta$

4 $e(i) \leftarrow e(i) - \delta$

5 $e(j) \leftarrow e(j) + \delta$

6 **se** $e(j) > 0$ e $j \notin L$ e $j \neq t$

7 **então** acrescente j ao final de L

Relabel (1)

RELABEL (i)

- 1 $z(i) \leftarrow z(i) - 1 \quad \triangleright z(i)$ decresce
- 2 acrescente i ao final de L

RELABEL (i)

- 1 $h(i) \leftarrow h(i) + 1 \quad \triangleright h(i)$ cresce
- 2 acrescente i ao final de L

Consumo de tempo: $O(1)$

Relabel (2)

RELABEL (i)

- 1 $z(i) \leftarrow -\infty$
- 2 **para cada** ij em $A(i)$ **faça**
- 3 **se** $\check{x}(ij) < u(ij)$ e $z(i) < z(j) - 1$
- 4 **então** $z(i) \leftarrow z(j) - 1$
- 5 **acrescente** i ao final de L

RELABEL (i)

- 1 $h(i) \leftarrow \infty$
- 2 **para cada** ij em $A(i)$ **faça**
- 3 **se** $\check{x}(ij) < u(ij)$ e $h(i) > h(j) + 1$
- 4 **então** $h(i) \leftarrow h(j) + 1$
- 5 **acrescente** i ao final de L

Consumo de tempo: $O(|A(i)|)$

Algoritmo FIFO preflow-push

FIFO-PREFLOW-PUSH ()

0 PRÉ-PROCESSAMENTO()

1 $L \leftarrow \langle \rangle$ \triangleright L funciona como uma fila.

2 para cada j em $N - \{t\}$ faça

3 se $e(j) > 0$

4 então acrescente j ao final de L

5 enquanto $L \neq \langle \rangle$ faça

6 seja i o primeiro nó em L

7 retire i de L

8 NODE-EXAMINATION(i)

9 $x \leftarrow$ FLUXO(\check{x})

10 devolva x

Invariantes

Na linha 5, antes do “enquanto $L \neq \langle \rangle$...” vale que

- (i1) $x = \text{FLUXO}(\check{x})$ é um pré-fluxo com fonte s ;
- (i2) $e(i) = \check{x}(\bar{i}, i) - \check{x}(i, \bar{i})$ para cada i em N ;
- (i3) x respeita u ;
- (i4) z é um 1-potencial em $(N, A_{\check{x}})$;
- (i5) $z(t) - z(s) = n$;
- (i6) $z(t) - z(i) \geq 0$ para todo i ;
- (i7) se $e(j) > 0$ então existe um caminho de j a s em $(N, A_{\check{x}})$.
- (i8) os nós em L são distintos dois a dois;
- (i9) para todo nó j em $N - \{t\}$, $e(j) > 0$ se e só se j está em L .

Número de iterações

Fato 1. O algoritmo RELABEL é executado $< 2n^2$ vezes.

Demonstração (rascunho): $z(t) - z(i) < 2n$ e em cada execução o valor de $z(i)$ decresce de pelo menos 1.

PUSH (ij) é saturante se $\tilde{x}(ij) = u(ij)$ após a execução.

Fato 2. Um PUSH saturante é executado $\leq nm$.

Demonstração (rascunho): Entre duas execuções de um PUSH saturante de um arco ij o valor de $z(j)$ diminui de pelo menos 2.

Fases

Uma **fase** é uma seqüência de iterações que são tratados os nós que estão em L no fim da fase anterior.

FIFO-PREFLOW-PUSH ()

```
0  PRÉ-PROCESSAMENTO()
1   $L_1 \leftarrow L_2 \leftarrow \langle \rangle$   $\triangleright L_1$  e  $L_2$  funcionam como filas
2  para cada  $j$  em  $N - \{t\}$  faça
3      se  $e(j) > 0$  então acrescente  $j$  ao final de  $L_1$ 
4  enquanto  $L_1 \neq \langle \rangle$  ou  $L_2 \neq \langle \rangle$  faça
5      se  $L_1 = \langle \rangle$ 
6          então  $L_1 \leftarrow L_2$   $L_2 \leftarrow \langle \rangle$   $\triangleright$  nova fase
7      seja  $i$  o primeiro nó em  $L_1$ 
8      retire  $i$  de  $L_1$ 
9      NODE-EXAMINATION( $i$ )
10 devolva FLUXO( $\check{x}$ )
```

Número de fases (1)

Fato 3. O número de fases é $\leq 4n^2 + 2n$ vezes.

Demonstração (rascunho): Considere o valor de

$$\Phi := \max(z(t) - z(i) : i \in N \text{ e } e(i) > 0).$$

- (i6) $\Rightarrow \Phi \geq 0$ no início de cada iteração.
- No início da primeira iteração

$$z(t) - z(i) < n$$

para todo nó i . Logo, no início da primeira iteração

$$\Phi < n.$$

Número de fases (2)

Sejam Φ_1 e Φ_2 o valor de Φ no início de duas fases consecutivas.

Temos duas situações a considerar.

Caso 1. Se na fase não é executado um **RELABEL**, então

$$\Phi_2 \leq \Phi_1 - 1.$$

Caso 2. Se na fase é executado um **RELABEL**, então

$$\Phi_2 \leq \Phi_1 + 1.$$

Número de fases (3)

Assim, como

- no início de cada iteração $\Phi \geq 0$;
- no início da primeira iteração $\Phi \geq n$;
- no início da última iteração $\Phi = 0$; e
- **RELABEL** é executado $< 2n^2$

então, o número de fases é

$$< n + 2n^2 + n + 2n^2 = 4n^2 + 2n.$$

Número de não-saturantes push

Fato 4. Um **PUSH** não-saturante é executado $< 4n^3 + 2n^2$.

Demonstração (rascunho):

Temos que

- cada nó é submetido ao algoritmo **NODE-EXAMINATION** no máximo uma vez durante cada fase e
- cada **NODE-EXAMINATION** executa no máximo um **PUSH** não-saturante.

Logo, o número total de não-saturantes **PUSH** é

$$< n(4n^2 + 2n) = 4n^3 + 2n^2.$$

Consumo de tempo

Algoritmo	número máximo de execuções	consumo total de tempo
RELABEL	$< 2n^2$	$O(n^2)$
PUSH saturante	$< nm$	$O(nm)$
PUSH não-saturante	$< 4n^3 + 2n^2$	$O(n^3)$

O consumo de tempo do algoritmo
FIFO-PREFLOW-PUSH é $O(n^3)$.

Highest-label preflow-push

Pré-processamento

Observação: no início da primeira iteração dos algoritmos preflow-push basta que z seja um 1-potencial em $(N, A_{\tilde{x}})$.

PRÉ-PROCESSAMENTO ()

1 $\tilde{x} \leftarrow 0$

2 $e \leftarrow 0$

3 **para cada** sj em $A(s)$ **faça**

4 $\tilde{x}(sj) \leftarrow u(sj)$

5 $\tilde{x}(sj) \leftarrow -u(sj)$

6 $e(j) \leftarrow e(j) + u(sj)$

7 $e(s) \leftarrow e(s) - u(sj)$

8 **para cada** i em N **faça**

9 $z(i) \leftarrow n$

10 $z(s) \leftarrow 0$

Highest-label preflow-push

HIGHEST-LABEL-PREFLOW-PUSH ()

0 **PRÉ-PROCESSAMENTO()**

1 $L \leftarrow \langle \rangle$ $\triangleright L$ funciona como uma fila

2 **para cada** j em $N - \{t\}$ **faça**

3 **se** $e(j) > 0$

4 **então** acrescente j a L

5 **enquanto** $L \neq \langle \rangle$ **faça**

6 seja i um nó em L tal que $z(i)$ é **mínimo**

6 seja i um nó em L tal que $h(i)$ é **máximo**

7 retire i de L

8 **NODE-EXAMINATION**(i)

9 $x \leftarrow$ **FLUXO**(\check{x})

10 **devolva** x

Node-Examination

NODE-EXAMINATION (i)

- 1 $A' \leftarrow A(i)$
- 2 **enquanto** $e(i) > 0$ e $A' \neq \emptyset$ **faça**
- 3 retire uma arco ij de A'
- 4 **se** $\check{x}(ij) < u(ij)$ e ij é justo
- 5 **então** PUSH(ij)
- 6 **se** $e(i) > 0$
- 7 **então** RELABEL(i)

Push

PUSH (ij)

1 $\delta \leftarrow \min\{e(i), u(ij) - \check{x}(ij)\}$

2 $\check{x}(ij) \leftarrow \check{x}(ij) + \delta$

3 $\check{x}(ji) \leftarrow \check{x}(ji) - \delta$

4 $e(i) \leftarrow e(i) - \delta$

5 $e(j) \leftarrow e(j) + \delta$

6 **se** $e(j) > 0$ e $j \notin L$ e $j \neq t$

7 **então** acrescente j a L

Relabel

RELABEL (i)

- 1 $z(i) \leftarrow z(i) - 1 \quad \triangleright z(i)$ decresce
- 2 acrescente i a L

RELABEL (i)

- 1 $h(i) \leftarrow h(i) + 1 \quad \triangleright h(i)$ cresce
- 2 acrescente i a L

Consumo de tempo: $O(1)$

Invariantes

Na linha 5, antes do “enquanto $L \neq \langle \rangle$...” vale que

- (i1) $x = \text{FLUXO}(\check{x})$ é um pré-fluxo com fonte s ;
- (i2) $e(i) = \check{x}(\bar{i}, i) - \check{x}(i, \bar{i})$ para cada i em N ;
- (i3) x respeita u ;
- (i4) z é um 1-potencial em $(N, A_{\check{x}})$;
- (i5) $z(t) - z(s) = n$;
- (i6) $z(t) - z(i) \geq 0$ para todo i ;
- (i7) se $e(j) > 0$ então existe um caminho de j a s em $(N, A_{\check{x}})$.
- (i8) os nós em L são distintos dois a dois;
- (i9) para todo nó j em $N - \{t\}$, $e(j) > 0$ se e só se j está em L .

Número de iterações

Fato 1. O algoritmo **RELABEL** é executado $< 2n^2$ vezes.

Fato 2. Um **PUSH** saturante é executado $\leq nm$.

Fato 3. Um **PUSH** saturante é executado $\leq 2n^3 + n$.

Demonstração (rascunho):

Entre duas execuções de um **RELABEL** os valores de z não mudam.

Cada **PUSH** não-saturante faz com que o nó i com $z(i)$ mínimo fique inativo ($e(i) = 0$).

Logo, há $< n$ **PUSH** não-saturantes entre duas execuções de um **RELABEL** há $< n$ e o número de **PUSH** não-saturantes é

$$< n(2n^2 + 1) = 2n^2 + n.$$

Consumo de tempo

Algoritmo	número máximo de execuções	consumo total de tempo
RELABEL	$< 2n^2$	$O(n^2)$
PUSH saturante	$< nm$	$O(nm)$
PUSH não-saturante	$< 2n^3 + n$	$O(n^3)$

O consumo de tempo do algoritmo
HIGHEST-LABEL-PREFLOW-PUSH é $O(n^3)$.

Pode-se mostra que o consumo de tempo do algoritmo
HIGHEST-LABEL-PREFLOW-PUSH é $O(n^2m^{1/2})$.

Excess Scaling preflow-push

Excess-scaling

Idéia: fazer com que cada **PUSH** não-saturante envie uma quantidade “**suficientemente grande**” de fluxo e assim o número de **PUSH** não-saturantes será “**suficientemente pequeno**”.

Em cada iteração do algoritmo temos um parâmetro Δ que satisfaz

$$\max\{e(i) : i \neq t\} \leq \Delta.$$

Um nó i tem um **excesso grande** se $e(i) \geq \Delta/2$.

O algoritmo faz **PUSH**(ij) apenas se i tem excesso grande. Isto garante que em um **PUSH** não-saturante o algoritmo envia uma quantidade de fluxo relativamente grande.

Push modificado

PUSH (ij)

$$1 \quad \delta \leftarrow \min\{e(i), u(ij) - \check{x}(ij), \Delta - e(j)\}$$

$$2 \quad \check{x}(ij) \leftarrow \check{x}(ij) + \delta$$

$$3 \quad \check{x}(ji) \leftarrow \check{x}(ji) - \delta$$

$$4 \quad e(i) \leftarrow e(i) - \delta$$

$$5 \quad e(j) \leftarrow e(j) + \delta$$

Consumo de tempo: $O(1)$

A modificação na atribuição na linha 1 garante que $e(j) \leq \Delta$ para todo $j \neq t$.

Relabel (1)

RELABEL (i)

1 $z(i) \leftarrow z(i) - 1 \quad \triangleright z(i)$ decresce

RELABEL (i)

1 $h(i) \leftarrow h(i) + 1 \quad \triangleright h(i)$ cresce

Consumo de tempo: $O(1)$

Excess-scaling preflow-push

EXCESS-SCALING-PREFLOW-PUSH ()

```
0  PRÉ-PROCESSAMENTO()
1   $\Delta \leftarrow 2^{\lceil \lg U \rceil}$ 
2  enquanto  $\Delta \geq 1$  faça
3      se  $\max\{e(i) : i \neq t\} \leq \Delta/2$  então  $\Delta \leftarrow \Delta/2$ 
4      senão
5          seja  $i$  tal que  $e(i) \geq \Delta/2$  e  $z(i)$  é máximo
6           $A(\check{x}) \leftarrow \{ij \in A : \check{x}(ij) < u(ij)\}$ 
7          se algum  $ij$  em  $A_{\check{x}}(i)$  é justo
8              então PUSH( $ij$ )
9              senão RELABEL( $i$ )
10 devolva FLUXO( $\check{x}$ )
```

Número de fases

O valor de Δ permanece constante durante a execução do bloco de linhas 6–8.

Diremos que cada seqüência de execuções desse bloco de linhas é uma **fase** (= *scaling phase*).

O fim de cada fase é marcado pela execução da linha 9, onde $\Delta' := \Delta/2$ assume o papel de Δ na próxima fase.

Conclusão: o número de fases é

$$\leq 1 + \lceil \lg U \rceil.$$

Consumo de tempo (1)

Fato 1. O algoritmo **RELABEL** é executado $< 2n^2$ vezes.

Fato 2. Um **PUSH** saturante é executado $\leq nm$.

Fato 3. Um **PUSH** não-saturante envia pelo menos $\Delta/2$ unidades de fluxo.

Demonstração (rascunho): Suponha que o algoritmo executou **PUSH**(ij) não-saturante.

Logo, $z(j) = z(i) + 1$.

Como, pela escolha de i na linha 6, $e(i) \geq \Delta/2$ e

$$z(i) \geq \max\{z(k) : k \neq t \text{ e } e(k) \geq \Delta/2\},$$

então $e(j) < \Delta/2$. Como **PUSH**(ij) é não-saturante, então ele envia $\min\{e(i), \Delta - e(j)\} \geq \Delta/2$ unidades de fluxo.

Consumo de tempos (2)

Fato 4. Um **PUSH** não-saturante é executado $< 8n^2$ em cada fase e $< 8n^2(1 + \lfloor \lg U \rfloor)$ no total.

Demonstração (rascunho): Considere o valor de

$$\Phi := \sum \left((z(t) - z(i)) \frac{e(i)}{\Delta} : i \in N \text{ e } e(i) > 0 \right).$$

- (i6) $\Rightarrow \Phi \geq 0$ no início de cada iteração.
- No início de cada iteração

$$z(t) - z(i) < 2n$$

para todo nó i . Logo, como $\max\{e(i) : i \neq t\} < \Delta$, no início da primeira iteração de uma fase temos que

$$\Phi < 2n^2.$$

Consumo de tempo (3)

Sejam Φ_1 e Φ_2 o valor de Φ antes e depois do algoritmo executar um **RELABEL** ou um **PUSH** (na mesma fase).

Se o algoritmo executou um:

- **RELABEL** $\Rightarrow \Phi_2 \leq \Phi_1 + 1$.
- **PUSH** saturante $\Rightarrow \Phi_2 < \Phi_1$
- **PUSH** não-saturante $\Rightarrow \Phi_2 \leq \Phi_1 - 1/2$ (pelo **Fato 3**)

Como no início da última iteração da fase $\Phi \geq 0$, então o número de execuções de um **PUSH** não-saturante em cada fase é

$$< 2(2n^2 + 2n^2) = 8n^2.$$

Portanto, o algoritmo executa um **PUSH** não-saturante

$$< 8n^2(1 + \lfloor \lg U \rfloor) \text{ vezes.}$$

Consumo de tempo

Algoritmo	número máximo de execuções	consumo total de tempo
RELABEL	$< 2n^2$	$O(n^2)$
PUSH saturante	$< nm$	$O(nm)$
PUSH não-saturante	$< 8n^2(1 + \lfloor \lg U \rfloor)$	$O(n^2 \lg U)$

O consumo de tempo do algoritmo
EXCESS-SCALING-PREFLOW-PUSH é
 $O(nm + n^2 \lg U)$.

Resumão

Algoritmo	consumo de tempo
FORD-FULKERSON	$O(nmU)$
MAX-CAPACITY	$O(n^2m \lg U)$
CAPACITY-SCALING	$O(m^2 \lg U)$
EDMONDS-KARP	$O(nm^2)$
DINITS	$O(n^2m)$
Karzanov	$O(n^3)$
Sleator-Tarjan	$O(nm \log n)$
GENERIC-PREFLOW-PUSH	$O(n^2m)$
FIFO-PREFLOW-PUSH	$O(n^3)$
HIGHEST-LABEL-PREFLOW-PUSH	$O(n^3)$ ($O(n^2m^{1/2})$)
EXCESS-SCALING-PREFLOW-PUSH	$O(nm + n^2 \lg U)$